

# „Genomforschung und Sequenzanalyse“

- Einführung in Methoden der Bioinformatik- “

AG Hankeln

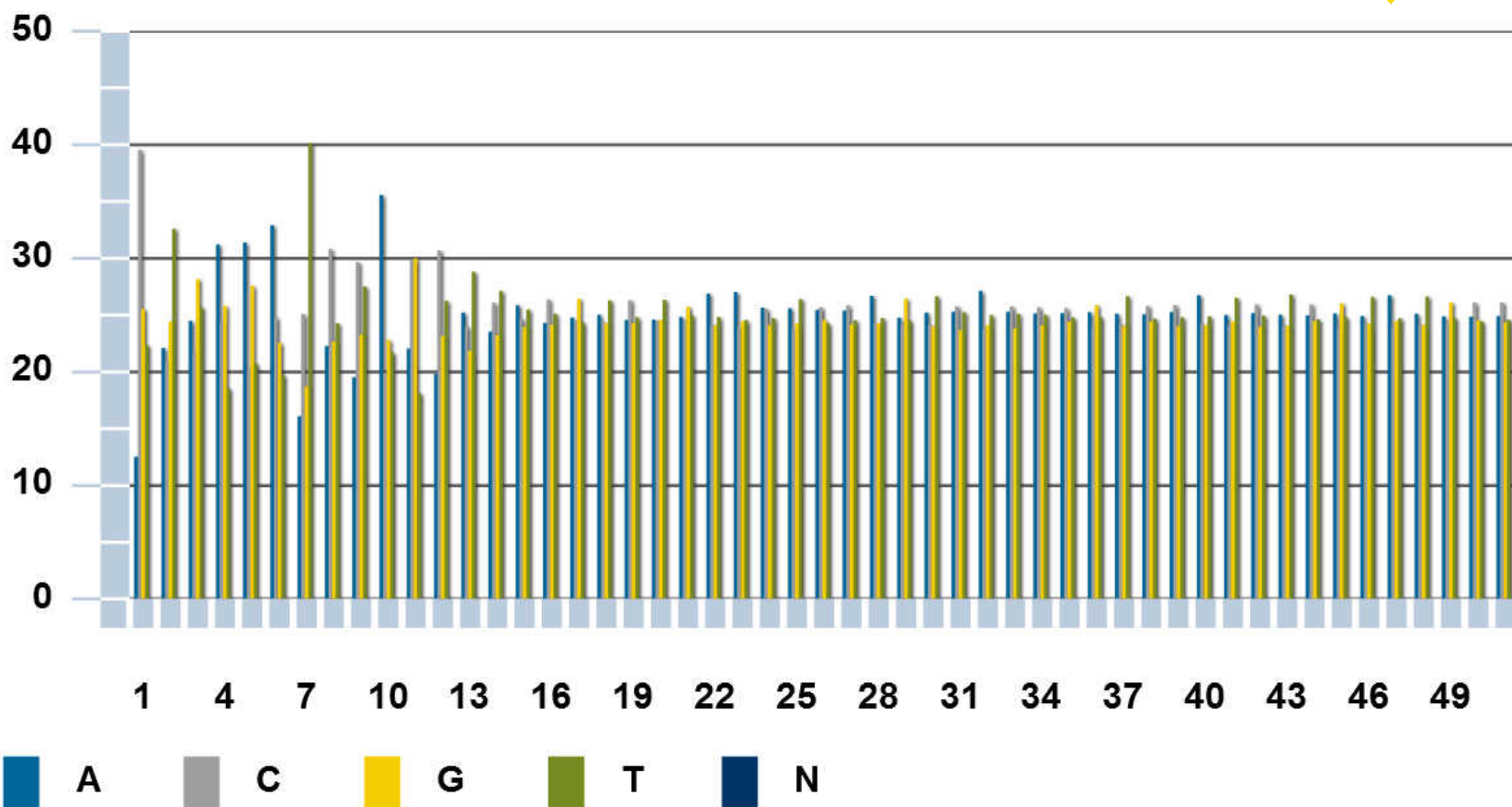
---

# Methoden der Genomsequenzierung:

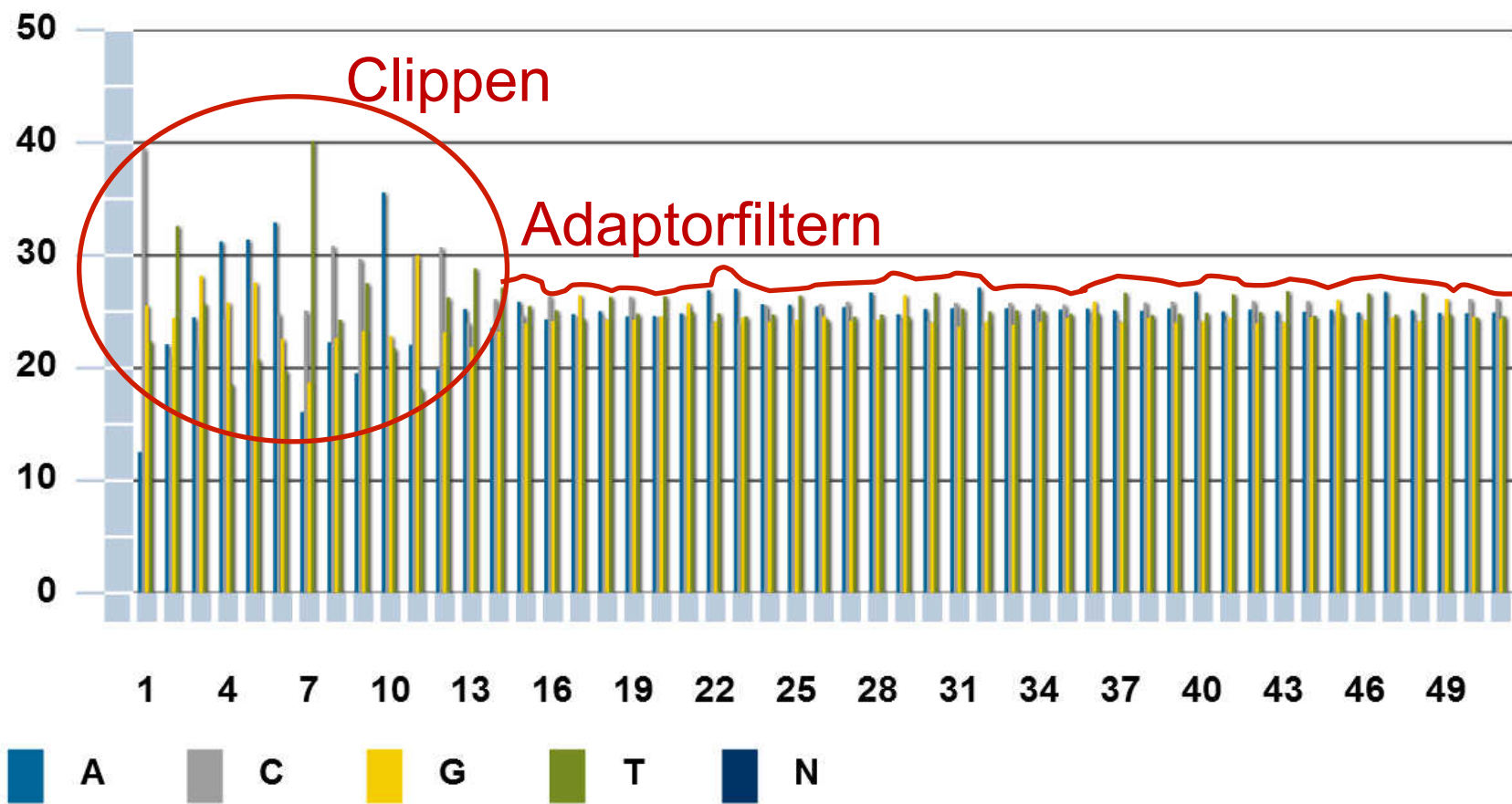
...AGCGATGCGAGGAT  
|  
AATATACGAGCGA

## Mapping-Strategien

# Sind alle sequenzierten Reads qualitativ hochwertig? Was fällt noch auf?



# Qualitätsprozessierung: Nukleotidverteilung in Rohdaten



# FASTQ-Format

Format zum Speichern der Sequenzschnipsel

```
@SEQ_ID
GATTGGGGTTCAAAGCAGTATCGATCAAATAGTAAATCCATTGTTCAACTCACAGTT
+
! ' ' * ( ( ( ***+ ) % % % ++ ) ( % % % % ) . 1 *** - + * ' ' ) ) **55CCF>>>>CCCCCCCC65
```

33; 39; 39; 42; 40 usw.

Header

Sequenz

Header2

Phred-kodierte Qualitätswerte

Vor dem Mapping: Aussortieren

# Qualitätswerte

Sanger-Sequenzierung

- Chromatogramme
- Phred-scores

Phred-scores:

$$Q = -10 \log_{10} p$$

$$p = 10^{-(Q/10)}$$

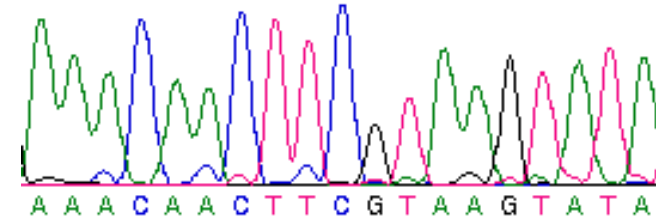
p: Wahrscheinlichkeit, dass der Basecall falsch ist

NGS

- Phred ähnliche Qualitätswerte
- Werden im FASTQ und SAM-format umformatiert um weniger Speicherplatz zu belegen
- Q wird mit X addiert, der entsprechende Eintrag der Ascii-Tabelle steht für die Qualität
- X = 33 bei Sanger, bei Illumina lange Zeit 64, jetzt auch 33

Sanger Beispiel:

$$\text{Ascii: } 73 \rightarrow \text{minus } X \text{ (33)} \rightarrow Q = 40 \rightarrow p = 10^{-(40/10)} = 0,0001$$



ASCII-Codetabelle										
+	0	1	2	3	4	5	6	7	8	9
30				!	"	#	\$	%	&	'
40	(	)	*	+	,	-	.	/	0	1
50	2	3	4	5	6	7	8	9	:	;
60	<	=	>	?	@	A	B	C	D	E
70	F	G	H	I	J	K	L	M	N	O
80	P	Q	R	S	T	U	V	W	X	Y
90	Z	[	\	]	^	_	`	a	b	c
100	d	e	f	g	h	i	j	k	l	m
110	n	o	p	q	r	s	t	u	v	w
120	x	y	z	{		}	~			

# Berechne den Quality score zu p=0,05

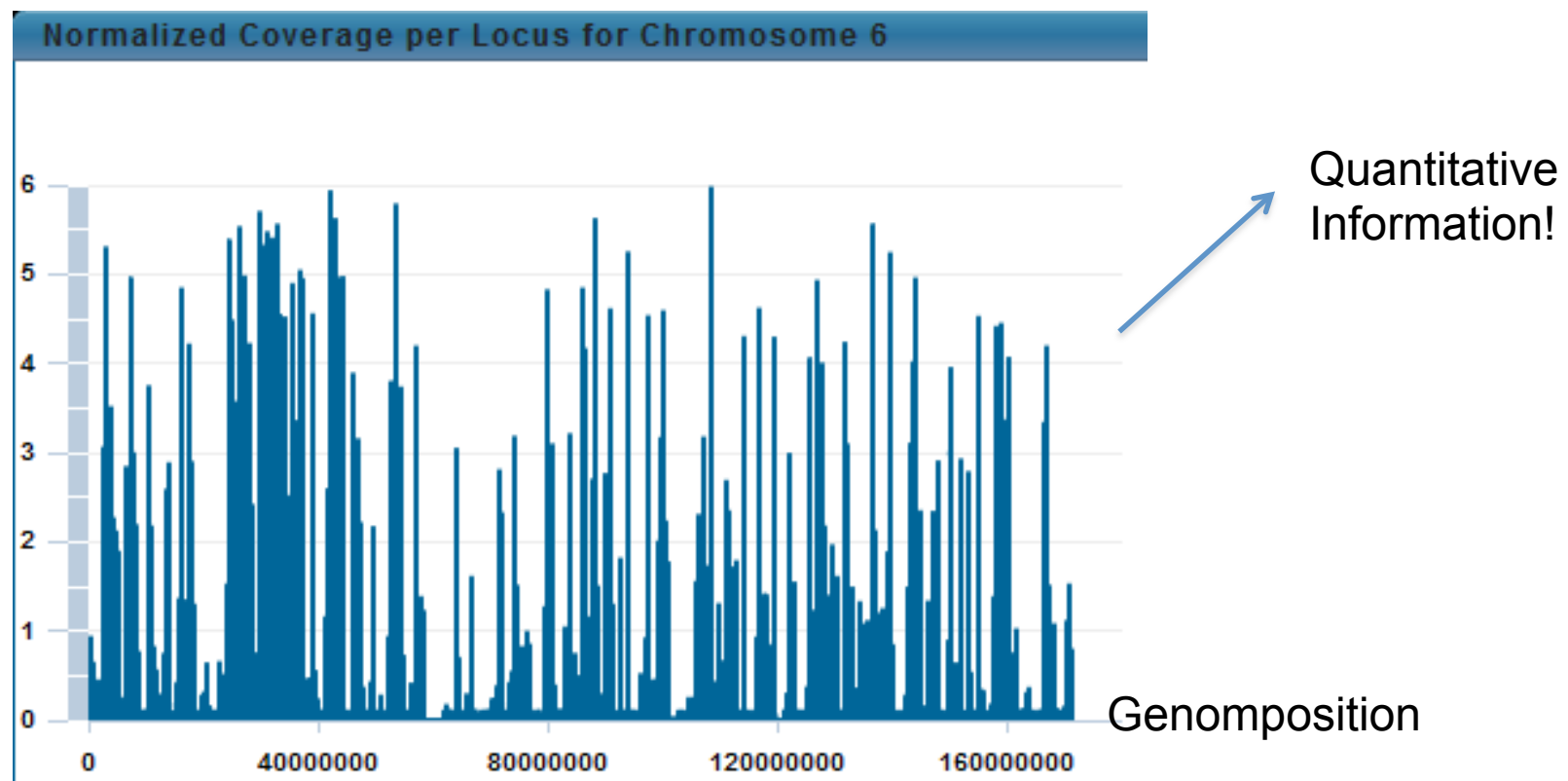
$$\begin{aligned}a &= b^x \\x &= \log_b a\end{aligned}$$

# Berechne den Quality score zu p=0,05

- $p = 10^{-Q/10}$
  - $Q/10 = \log_{10} p$
  - $Q = -10 \log_{10} p$
  - $-10 \log_{10} 0,05 = 13$
  - → Cutoff bei einem Quality-Score von 13
- $$a = b^x$$
$$x = \log_b a$$

# Mapping

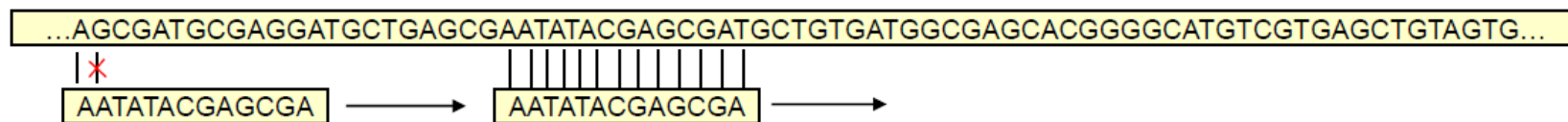
- Alignierung der generierten Reads an eine Referenz



# Mapping - aber wie?

## Challenge

Map billions of short reads back to a reference sequence



Scanning every position of the human genome for every sequence read will take years!

Mapping approaches must involve smart pre-processing:

Hashing (reference sequence or sequence reads)

Burrows-Wheeler transformation (reference sequence)

# Mapping-Algorithmus I: Burrows-Wheeler-Transformation

- Umstrukturierung der Daten
- Verringelter Speicherbedarf
- Verkürzte Zugriffszeiten
- Schnelleres Alignieren

# Mapping-Algorithmus I: Burrows-Wheeler-Transformation

- Umstrukturierung der Daten
- Verringelter Speicherbedarf
- Verkürzte Zugriffszeiten
- Schnelleres Alignieren

**Beispiel:**      Mississippi  
                      mississippi\$

# Mapping-Algorithmus I: Burrows-Wheeler-Transformation

Alle möglichen  
Rotationen  
erzeugen.

m	i	s	s	i	s	s	i	p	p	i	\$
i	s	s	i	s	s	i	p	p	i	\$	m
s	s	i	s	s	i	p	p	i	\$	m	i
s	i	s	s	i	p	p	i	\$	m	i	s
i	s	s	i	p	p	i	\$	m	i	s	s
s	s	i	p	p	i	\$	m	i	s	s	i
s	i	p	p	i	\$	m	i	s	s	i	s
i	p	p	i	\$	m	i	s	s	i	s	s
p	p	i	\$	m	i	s	s	i	s	s	i
p	i	\$	m	i	s	s	i	s	s	i	p
i	\$	m	i	s	s	i	s	s	i	p	p
\$	m	i	s	s	i	s	s	i	p	p	i

# Mapping-Algorithmus I: Burrows-Wheeler-Transformation

Sortierung der  
Zeilen in  
alphabetischer  
Reihenfolge.

\$	m	i	s	s	i	s	s	i	p	p	i
i	\$	m	i	s	s	i	s	s	i	p	p
i	p	p	i	\$	m	i	s	s	i	s	s
i	s	s	i	p	p	i	\$	m	i	s	s
i	s	s	i	s	s	i	p	p	i	\$	m
m	i	s	s	i	s	s	i	p	p	i	\$
p	i	\$	m	i	s	s	i	s	s	i	p
p	p	i	\$	m	i	s	s	i	s	s	i
s	i	p	p	i	\$	m	i	s	s	i	s
s	i	s	s	i	p	p	i	\$	m	i	s
s	s	i	p	p	i	\$	m	i	s	s	i
s	s	i	s	s	i	p	p	i	\$	m	i

# Mapping-Algorithmus I: Burrows-Wheeler-Transformation

Ausgabe der  
letzten Spalte.

mississippi\$  
↓  
ipssm\$pissii  
(4 i, 1 m, 2 p, 4 s)

\$	m	i	s	s	i	s	s	i	p	p	i
i	\$	m	i	s	s	i	s	s	i	p	p
i	p	p	i	\$	m	i	s	s	i	s	s
i	s	s	i	p	p	i	\$	m	i	s	s
i	s	s	i	s	s	i	p	p	i	\$	m
m	i	s	s	i	s	s	i	p	p	i	\$
p	i	\$	m	i	s	s	i	s	s	i	p
p	p	i	\$	m	i	s	s	i	s	s	i
s	i	p	p	i	\$	m	i	s	s	i	s
s	i	s	s	i	p	p	i	\$	m	i	s
s	s	i	p	p	i	\$	m	i	s	s	i
s	s	i	s	s	i	p	p	i	\$	m	i

# Mapping-Algorithmus I: Burrows-Wheeler-Transformation

- Durch die Information (4 i, 1 m, 2 p, 4 s) kann die erste Spalte rekonstruiert werden.
- Durch die Beziehung der beiden Spalten kann die Sequenz jeder Zeile rekonstruiert werden.
- Für jede Teilsequenz (read) können durch alphabetische Überprüfung schnell alle möglichen passenden Positionen gefunden werden.

\$
i
i
i
i
m
p
p
s
s
s
s
s

i
p
s
s
m
\$
p
i
s
s
s
i
i

Die jeweils gleichen Buchstaben sind in der ersten und in der letzten Spalte gleich sortiert! Und zwar rückwärts!

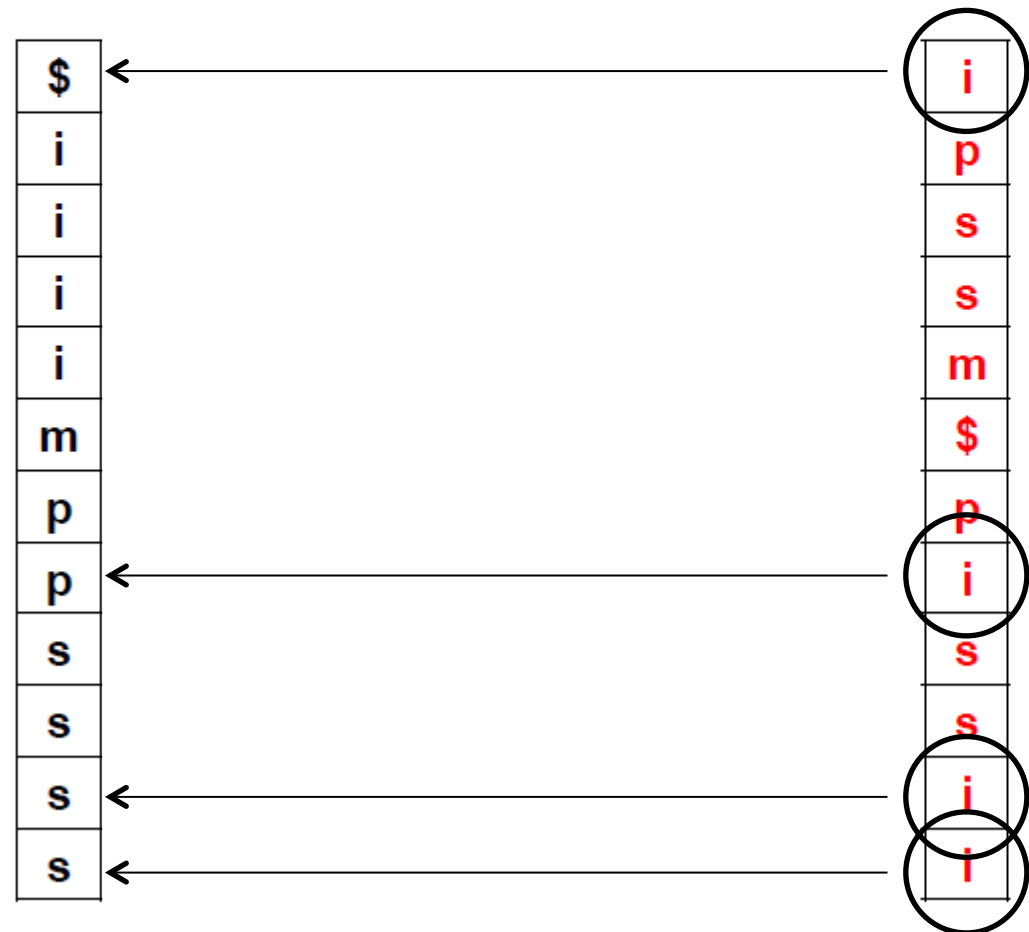
# Mapping-Algorithmus I: Burrows-Wheeler-Transformation

- Anzahl nötiger Schritte nur von read-Länge und Anzahl möglicher Zustände und nicht von der Länge der Referenzsequenz abhängig
- Extrem nützlich für Mapping an große Genome

\$	m	i	s	s	i	s	s	i	p	p	i
i	\$	m	i	s	s	i	s	s	i	p	p
i	p	p	i	\$	m	i	s	s	i	s	s
i	s	s	i	p	p	i	\$	m	i	s	s
i	s	s	i	s	s	i	p	p	i	\$	m
m	i	s	s	i	s	s	i	p	p	i	\$
p	i	\$	m	i	s	s	i	s	s	i	p
p	p	i	\$	m	i	s	s	i	s	s	i
s	i	p	p	i	\$	m	i	s	s	i	s
s	i	s	s	i	p	p	i	\$	m	i	s
s	s	i	p	p	i	\$	m	i	s	s	i
s	s	i	s	s	i	p	p	i	\$	m	i

# Mapping-Algorithmus I: Burrows-Wheeler-Transformation

- Beispiel:** Steckt die Zeichenabfolge „ims“ in der Ausgangssequenz?
- Normale Vorgehensweise: positionsweise „ims“ an Ausgangssequenz entlangschieben
  - BWT: hinter „i“ kann „\$“, „p“ oder „s“ kommen  
→ „ims“ ist nicht in der Sequenz



# Mapping-Algorithmus I: Burrows-Wheeler-Transformation

- Temporäre Rekonstruktion relevanter Bereiche
- Für „ims“ bereits in zweiter Zeile fertig (p im Alphabet nach m)

\$	m	i	s	s	i	s	s	i	p	p	i
i	\$	m	i	s	s	i	s	s	i	p	p
i	p	p	i	\$	m	i	s	s	i	s	s
i	s	s	i	p	p	i	\$	m	i	s	s
i	s	s	i	s	s	i	p	p	i	\$	m
m	i	s	s	i	s	s	i	p	p	i	\$
p	i	\$	m	i	s	s	i	s	s	i	p
p	p	i	\$	m	i	s	s	i	s	s	i
s	i	p	p	i	\$	m	i	s	s	i	s
s	i	s	s	i	p	p	i	\$	m	i	s
s	s	i	p	p	i	\$	m	i	s	s	i
s	s	i	s	s	i	p	p	i	\$	m	i

# Mapping-Algorithmus I: Burrows-Wheeler-Transformation

- Temporäre Rekonstruktion relevanter Bereiche
- Für „ims“ bereits in zweiter Zeile fertig (p im Alphabet nach m)

\$	m	i	s	s	i	s	s	i	p	p	i
i	\$	m	i	s	s	i	s	s	i	p	p
i	p	p	i	\$	m	i	s	s	i	s	s
i	s	s	i	p	p	i	\$	m	i	s	s
i	s	s	i	s	s	i	p	p	i	\$	m
m	i	s	s	i	s	s	i	p	p	i	\$
p	i	\$	m	i	s	s	i	s	s	i	p
p	p	i	\$	m	i	s	s	i	s	s	i
s	i	p	p	i	\$	m	i	s	s	i	s
s	i	s	s	i	p	p	i	\$	m	i	s
s	s	i	p	p	i	\$	m	i	s	s	i
s	s	i	s	s	i	p	p	i	\$	m	i

# Mapping-Algorithmus II: Seed-and-Extend

Spliced Read:

AATGTCG**TACGTAC**GTCCTAG**TTAAGTA**

Seeds: AATGTCG, TACGTAC, GTCCTAG,  
TTAAGTA

Seed-and-extend:



# Mapping-Algorithmus II: Seed-and-Extend

Hashing of the reference sequence

AGCGATGCGAGGATGC...

„k-mer“	position	sequence
AGCGATGCGAGG	1	chr 1
GCGATGCGAGGA	2	chr 1
CGATGCGAGGAT	3	chr 1
GATGCGAGGATG	4	chr 1
ATGCGAGGATGC	5	chr 1
...		

Organize by k-mer

k-mer	position	sequence
AAAAACGAACTT	131	chr 12
AAAAACTAATT	2131	chr 2
AAAACTAAATTA	45	chr 1
AAACGTGACCC	34534	chr 4
AAATAATATAAT	234	chr X
...		

Organize in hash table

TACAGGCTATTG  
GATAAACGTGAC  
TACAGGCTATTGATAAACGTGACCC

131 chr 12

143 chr 12

13423 chr 14

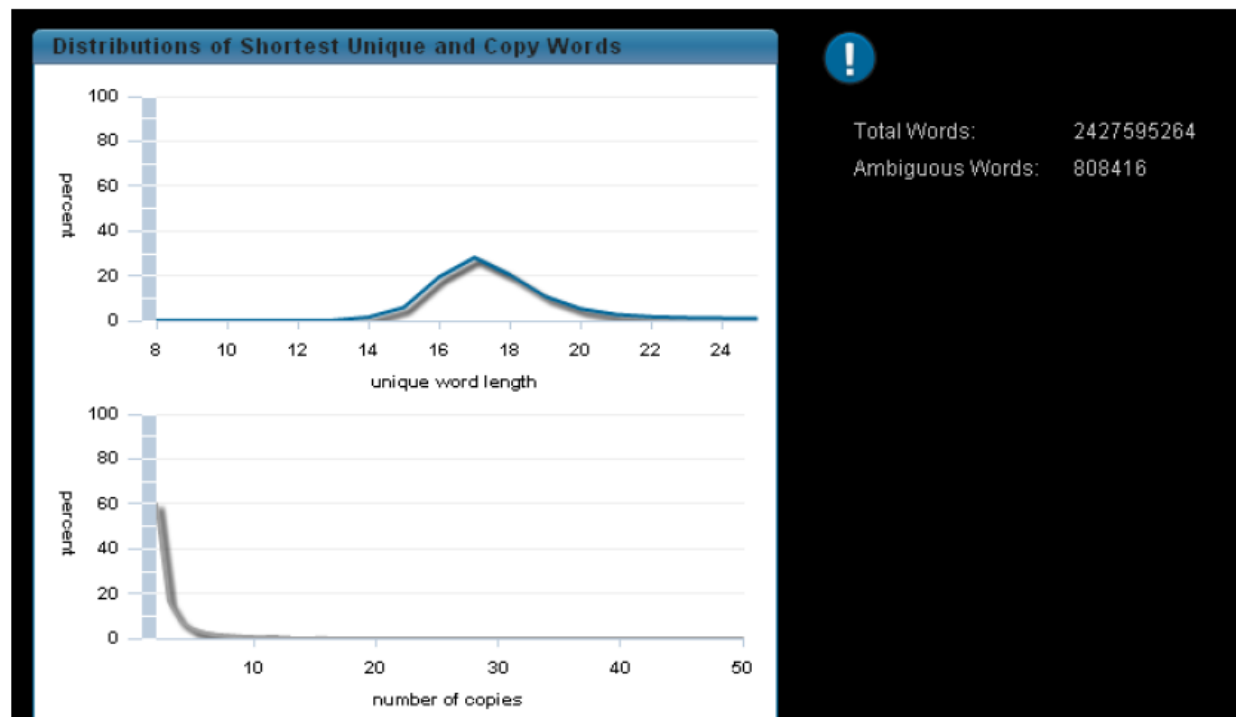
→ Detektion übereinstimmender K-mere  
→ „Extend“ (unter Beachtung potenzieller  
Exon-Exon-Grenzen)

Optimal length of k-mer?

# Mapping-Algorithmus II: Seed-and-Extend

Wie lang sollte ein Seed mindestens sein um „unique“ zu mappen?

Hashing: Human genome NCBI build 37 – SUS distribution



# Mapping-Algorithmus II: Seed-and-Extend

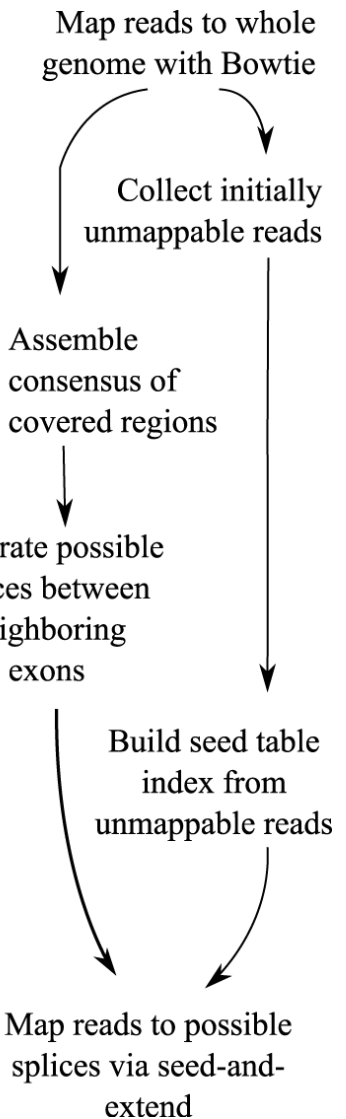
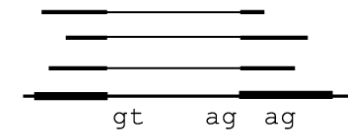
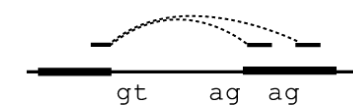
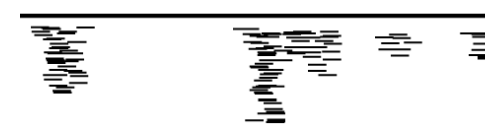
Reads, die Introns überspannen  
(spliced reads) können nicht gemappt  
werden

Seed table:

Nicht gemappte Reads werden  
in kürzere  
Sequenzen (seeds) unterteilt

Seed-and-extend:

Seeds werden gegen die Exongrenzen  
gemappt und bei einem Match zu beiden  
Seiten erweitert



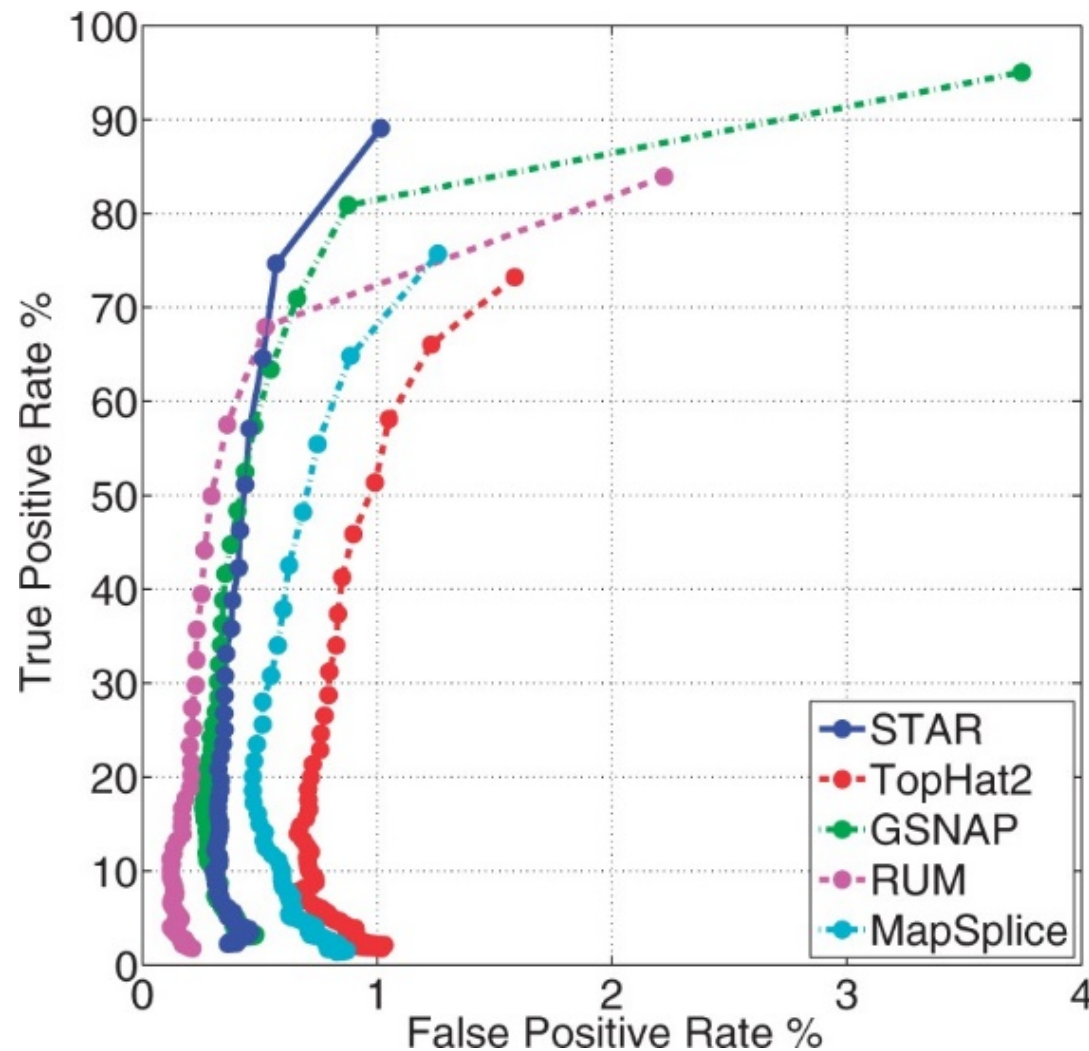


# Tools: BWT vs. Hash

## Overview available Methods

Tool	link	method
CloudBurst	sourceforge.net/apps/mediawiki/couldburst-bio/index.php?title=CloudBurst	Hash reads
Eland	-	Hash reads
Maq	maq.sourceforge.net	Hash reads
RMAP	rulai.cshl.edu/map	Hash reads
SeqMap	biogibbs.stanford.edu/~jingah/SeqMap	Hash reads
SHRiMP	compbio.cs.toronto.edu/shrimp	Hash reads
ZOOM	<a href="http://www.bioinfor.com">www.bioinfor.com</a>	Hash reads
BFAST	sourceforge.net/projects/bfast/files	Hash reference
MOM	mom.cs.vcu.edu	Hash reference
Mosaik	bioinformatics.bv.edu/marthlab/Mosaik	Hash reference
SSAHA2	<a href="http://www.sanger.ac.uk/resources/software/ssaha2">www.sanger.ac.uk/resources/software/ssaha2</a>	Hash reference
NovoAlign	<a href="http://www.novocraft.com">www.novocraft.com</a>	Hash reference
PASS	pass.cribi.unipd.it	Hash reference
PerM	code.google.com/p/perm	Hash reference
ProbeMatch	pages.cs.wisc.edu/~jignesh/probematch	Hash reference
Bowtie	bowtie.cbcb.umd.edu	BWT reference
BWA	bio-bwa.sourceforge.net	BWT reference
SOAP2	Soap.genomics.org.cn	BWT reference

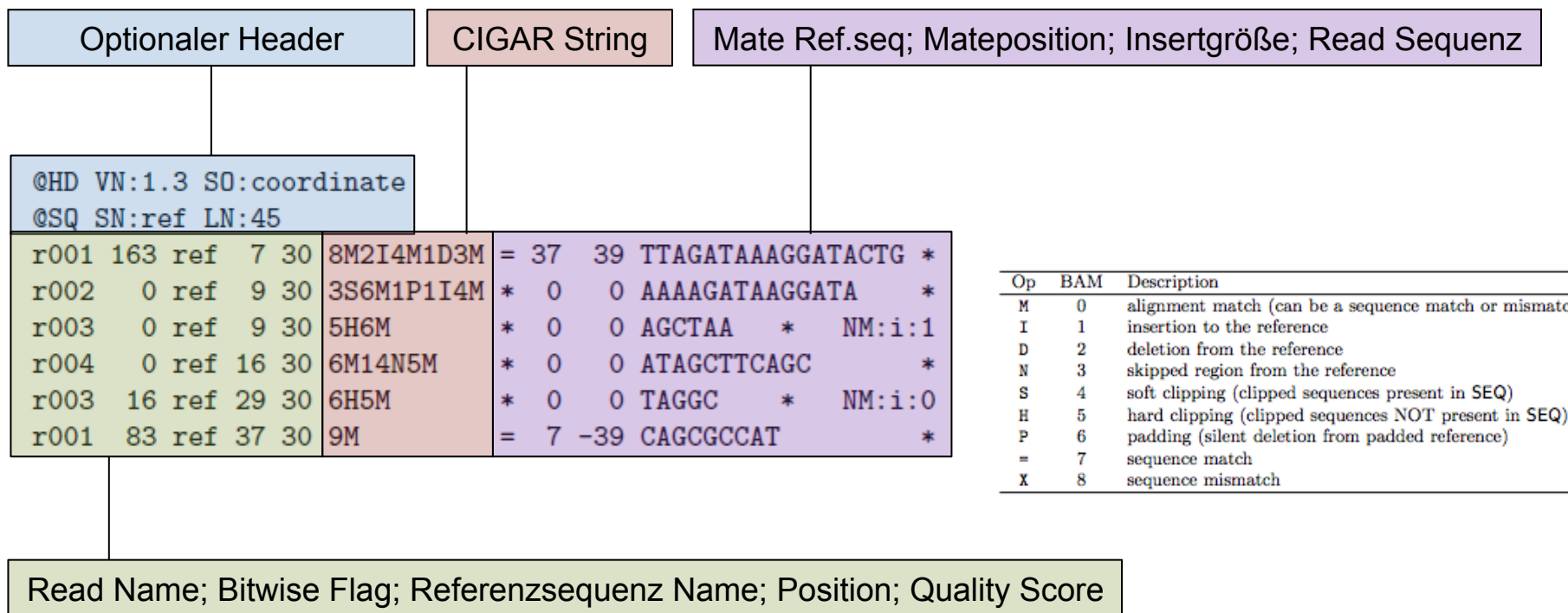
# Aber bitte ohne falsch-positive Mapping-Treffer!!



Dobin et al. 2013

# Mapping-Output

Das SAM-Format (binär: BAM) ist das wichtigste Dateiformat für Mapping-Daten



# Was besagt die *Bitwise Flag* des Mapping-Outputs?

Read Name; Bitwise Flag; Referenzsequenz Name; Position; Quality Score

r001	163	ref	7 30	8M2I4M1D3M	= 37 39	TTAGATAAAGGATACTG	*
r002	0	ref	9 30	3S6M1P1I4M	* 0 0	AAAAGATAAGGATA	*
r003	0	ref	9 30	5H6M	* 0 0	AGCTAA *	NM:i:1
r004	0	ref	16 30	6M14N5M	* 0 0	ATAGCTTCAGC	*
r003	16	ref	29 30	6H5M	* 0 0	TAGGC *	NM:i:0
r001	83	ref	37 30	9M	= 7 -39	CAGCGCCAT	*

Frage 0: Read paired?

Frage 1: Read mapped in proper pair?

Frage 2: Read unmapped?

Frage 3: Mate unmapped?

Frage 4: Read reverse strand?

Frage 5: Mate reverse strand?

Frage 6: First in pair?

Frage 7: Second in pair?

Frage 8: Not primary alignment?

Frage 9: Read fails platform/vendor quality checks?

Frage 10: Read is PCR or optical duplicate?

Frage 11: Supplementary alignment?

Ja = 1

Nein =0

# Bitwise Flag

Ja=1; Nein=0

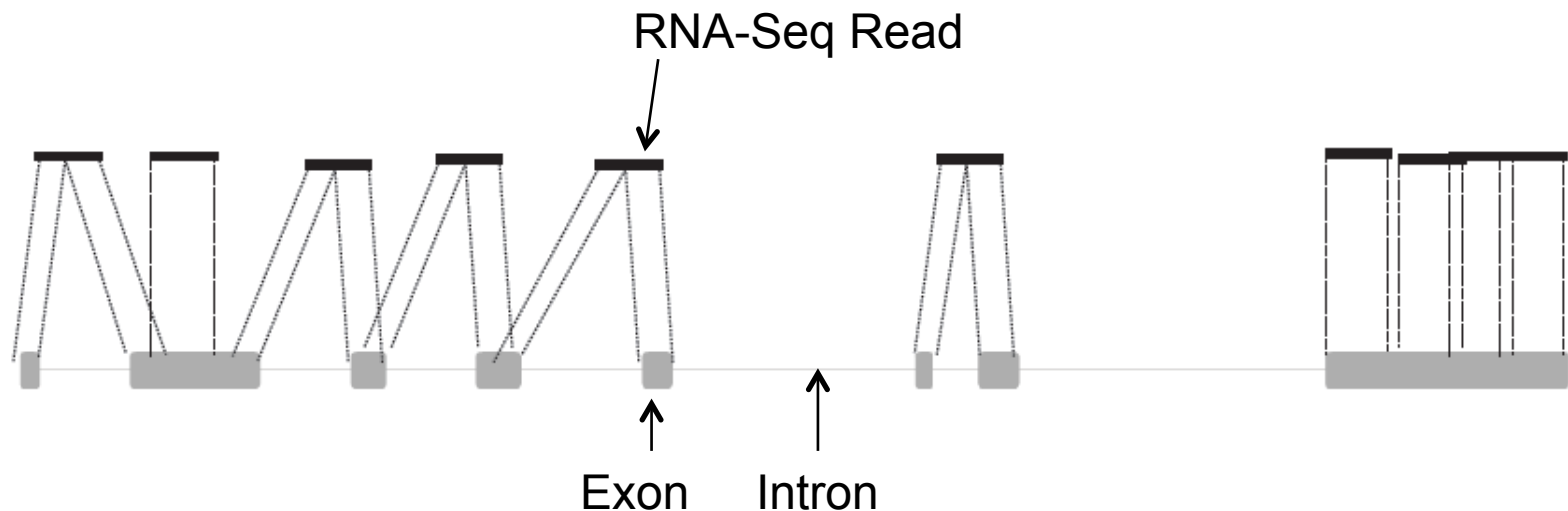
Frage 0: Read paired?	Ja	$2^0=1$	*1=1
Frage 1: Read mapped in proper pair?	Ja	$2^1=2$	*1=2
Frage 2: Read unmapped?	Nein	$2^2=4$	*0=0
Frage 3: Mate unmapped?	Nein	$2^3=8$	*0=0
Frage 4: Read reverse strand?	Ja	$2^4=16$	*1=16
Frage 5: Mate reverse strand?	Ja	$2^5=32$	*1=32
Frage 6: First in pair?	Nein	$2^6=64$	*0=0
Frage 7: Second in pair?	Ja	$2^7=128$	*1=128
Frage 8: Not primary alignment?	Nein	$2^8=256$	*0=0
Frage 9: Read fails platform/vendor quality checks?	Nein	$2^9=512$	*0=0
Frage 10: Read is PCR or optical duplicate?	Nein	$2^{10}=1024$	*0=0
Frage 11: Supplementary alignment?	Nein	$2^{11}=2048$	*0=0

**SUMME: 179**

**Alle obigen Informationen stecken in der bitwise flag 179!**

# Ein Sonderfall: Mapping bei RNA-Seq

Mapping of RNASeq data to genome requires “gapped alignment”



# RNA-Seq Mapping

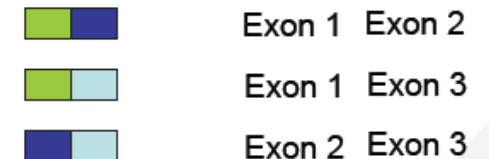
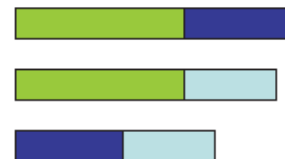
Lösung:

Verwendung von „Splice-aware“ Mappern (STAR, TopHat, CLC usw.)

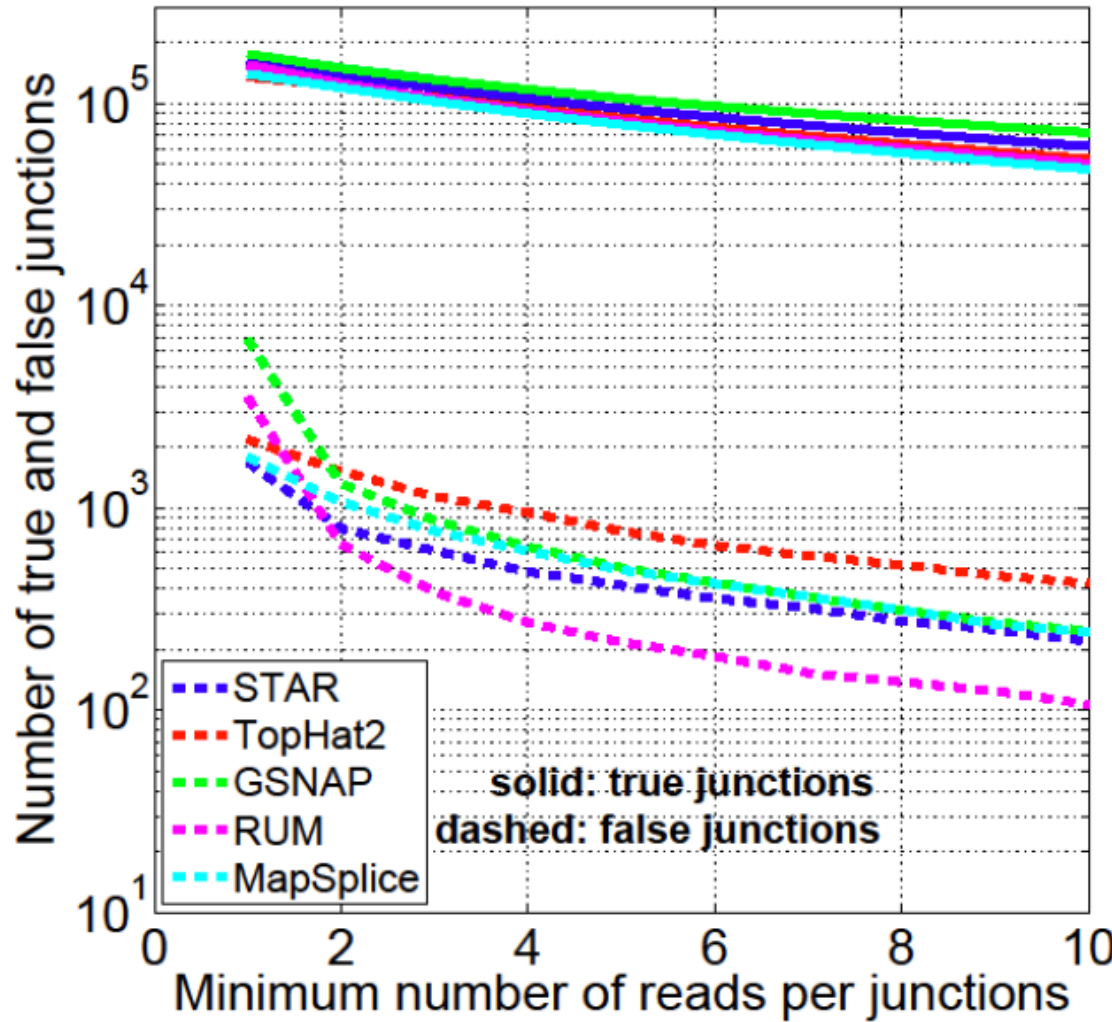
Annotation



Generation of splice junctions



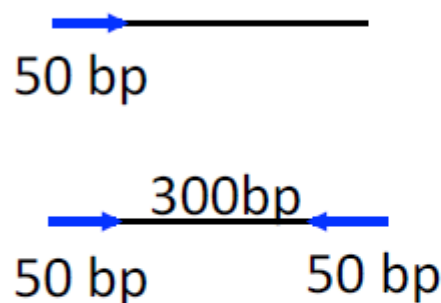
# Splice Junction Mapping: Algorithmen im Vergleich



Dobin et al. 2013

# Paired-end libraries

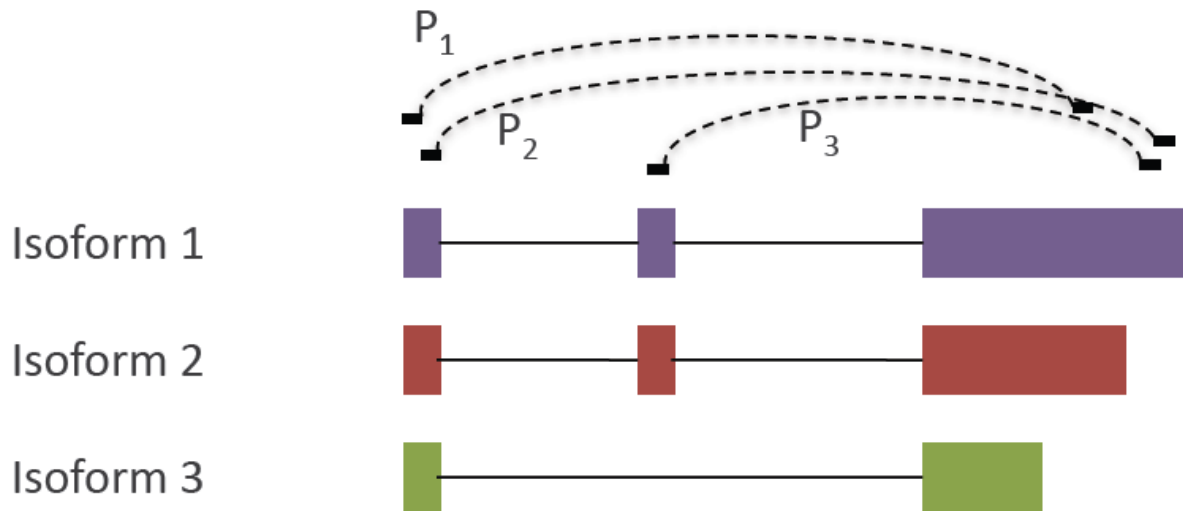
Illumina/SOLiD



Single end (SE)

Paired-end (PE), short fragment ends

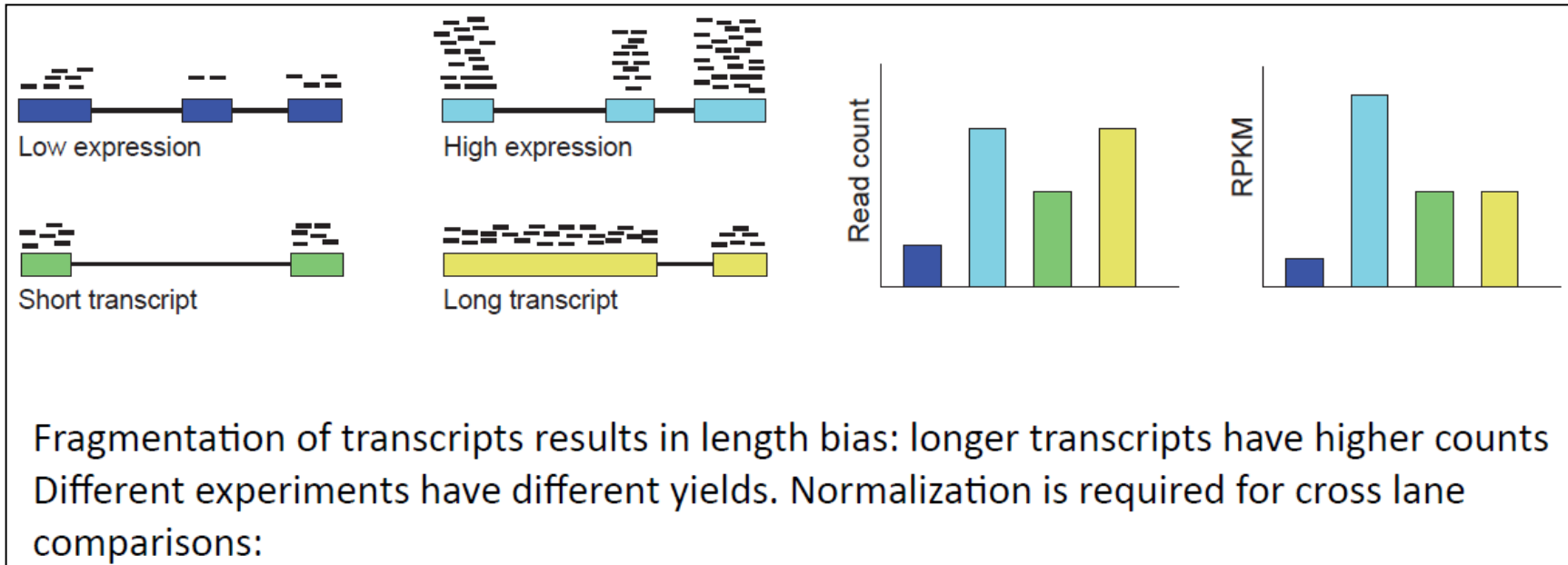
# Paired-end: Vorteile



Paired ends increase isoform deconvolution confidence

- $P_1$  originates from isoform 1 or 2 but not 3.
- $P_2$  and  $P_3$  originate from isoform 1

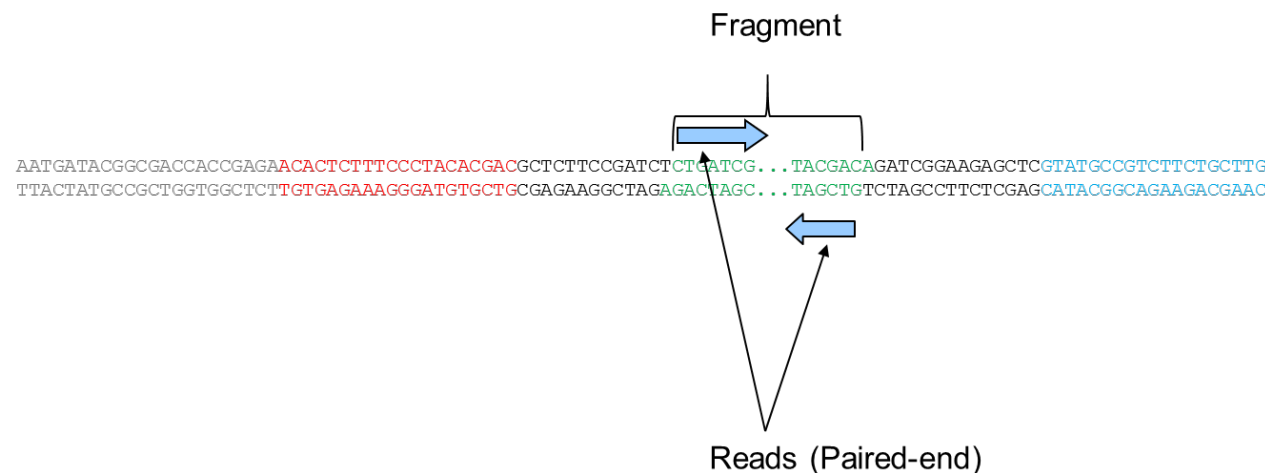
# Nach dem Mapping: Quantifizierung und Normalisierung der Expressionsstärke



$$\text{RPKM} = \frac{\text{Gemappte reads innerhalb des Transkripts}}{\text{Länge des Transkripts (Kb)} \times \text{Gemappte reads insgesamt (Mio.)}}$$

Reads per kilobase of exonic sequence  
per million mapped reads  
(Mortazavi et al Nature methods 2008)

# RPKM vs. FPKM



- **Fragment:** physischer DNA-Schnipsel aus einem Transkript
- **Read:** bioinformatischer Sequenzschnipsel
- Relevanter Unterschied: broken pairs
  - FPKM: Fragment gefunden und voll gewertet
  - RPKM: ein Teil gefunden und gewertet



# Normalisierung der Expressionsstärke: TPM statt RPKM

(Transcripts per Kilobase per Million)

- RPKM ist kein „Kuchenstück“: die Summe aller RPKMs ≠ 100%  
→ gibt nicht den Anteil des Transkripts pro eingesetzter mRNA wieder
- RPKMs teilweise schlecht untereinander vergleichbar wenn Transkripte generell länger oder kürzer sind
- → anderer „Scaling factor“ sinnvoll:

$$\text{TPM} = \frac{r_g \times \text{rl} \times 10^6}{\text{fl}_g \times T}$$

statt

$$\text{RPKM}_g = \frac{r_g \times 10^9}{\text{fl}_g \times R}$$

$$T = \sum_{g \in G} \frac{r_g \times \text{rl}}{\text{fl}_g}$$

$r_g$ : number of reads mapped to g

rl: Readlänge

fl<sub>g</sub>: feature (Exon/Transkript) Länge von g

T: Summe aller „transcripts sampled“

R: Summe aller gemappten Reads

- → TPM ist proportional der relativen molaren Konzentration

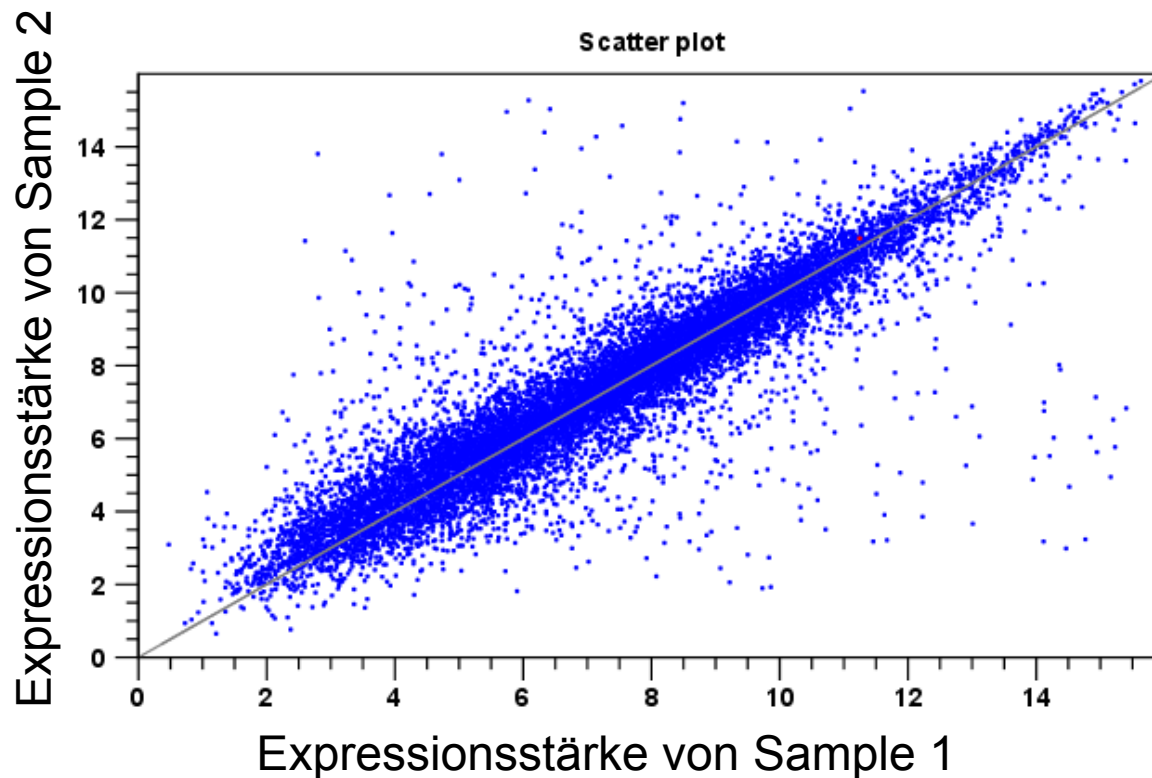
$$\text{RPKM}_g = \frac{T \times 10^3}{R \times \text{rl}} \times \text{TPM}_g$$

# Differenziell regulierte Gene der RNA-Seq Analyse

	Fold Change	ID	Symbol
	-5,683	83896	KRTAP3-1
	-5,464	4151	MB
	-4,784	9235	IL32
	-4,779	7805	LAPTM5
	-4,755	254228	FAM26E
	-4,736	90853	SPOCD1
	-4,694	8530	CST7
	-4,470	6317	SERPINB3
	-4,363	79148	MMP28
	-4,260	6347	CCL2
	-4,215	8091	HMGA2
	-4,174	2267	FGL1
	-4,108	140628	GATA5
	-3,893	4856	NOV
	-3,874	8740	TNFSF14
	-3,852	54538	ROBO4
	-3,767	115701	ALPK2
	-3,756	286	ANK1
	-3,755	159963	SLC5A12
	-3,711	725	C4BPB
	-3,702	125704	FAM69C
	-3,693	8632	DNAH17
	-3,666	84659	RNASE7
	-3,647	400950	C2orf91
	-3,644	23092	ARHGAP26
	-3,636	54210	TREM1
	-3,623	7850	IL1R2
	-3,611	4118	MAL

Genliste mit „fold-change“-Werten, die eine differenzielle Regulation auf mRNA-Ebene zeigen.

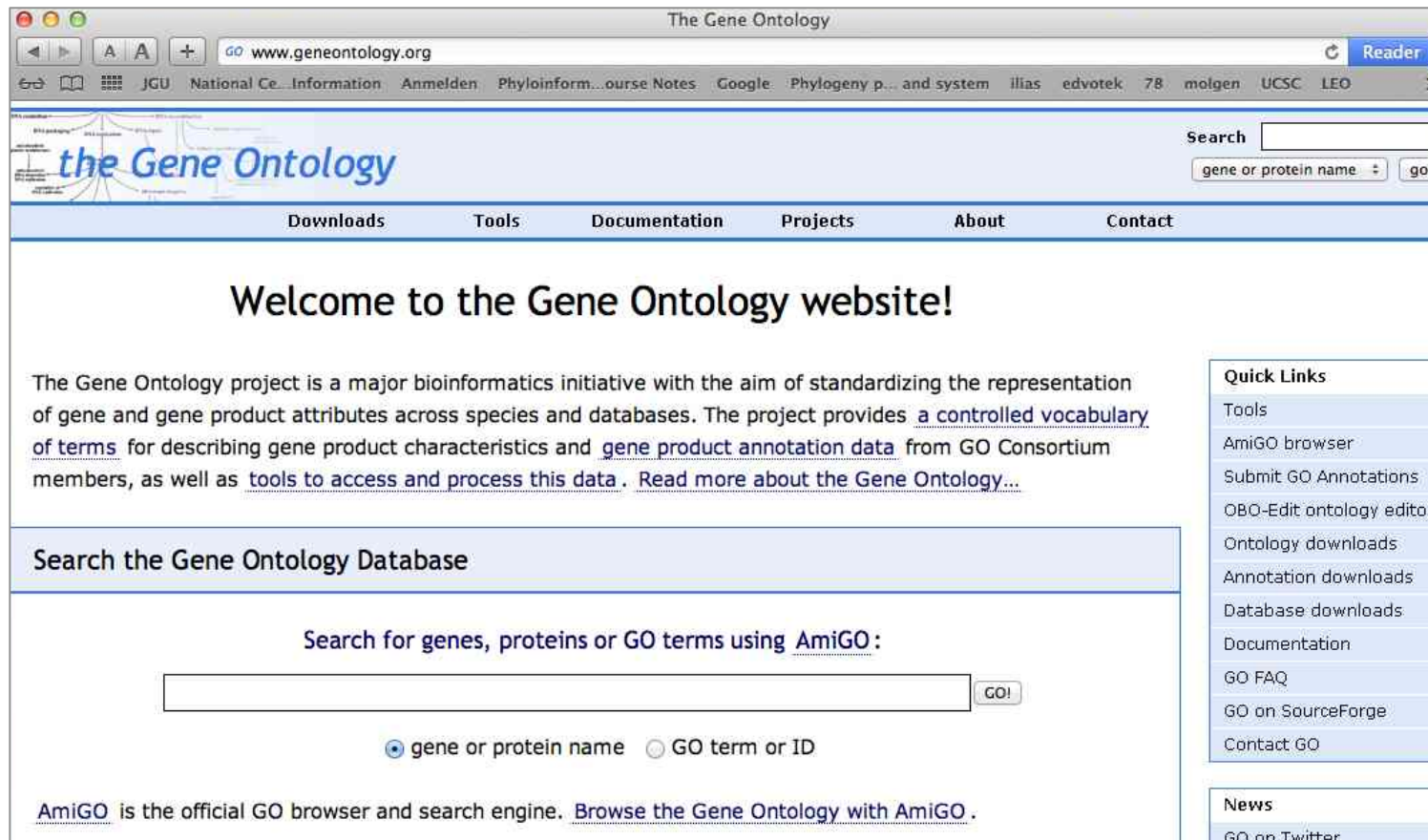
# **Scatter Plot: Visuelle Darstellung differenziell regulierter Gene der RNA-Seq Analyse**



# Biologische Interpretation der differenziell regulierten Gene

- Gibt es eine gemeinsame Assoziation mit bestimmten Zellkomponenten?
- Gibt es eine gemeinsame Assoziation mit bestimmten Funktionen, z.B. Schutz vor Sauerstoffradikalen?
- Gibt es Pathways, in denen viele der Gene vorkommen?
- Gibt es gemeinsame Regulatoren der Gene, z.B. stressinduzierbare Transkriptionsfaktoren?

# Biologische Interpretation: Gene Ontology Annotation



The screenshot shows the homepage of the Gene Ontology website. At the top, there is a navigation bar with links to various databases and tools. Below the navigation bar, the main content area features a welcome message and a search interface for the AmiGO database. A sidebar on the right contains a "Quick Links" menu with several items, and at the bottom, there is a news section.

The Gene Ontology project is a major bioinformatics initiative with the aim of standardizing the representation of gene and gene product attributes across species and databases. The project provides a controlled vocabulary of terms for describing gene product characteristics and gene product annotation data from GO Consortium members, as well as tools to access and process this data. Read more about the Gene Ontology...

Search the Gene Ontology Database

Search for genes, proteins or GO terms using AmiGO:

gene or protein name  GO term or ID

AmiGO is the official GO browser and search engine. Browse the Gene Ontology with AmiGO.

Quick Links

- Tools
- AmiGO browser
- Submit GO Annotations
- OBO-Edit ontology editor
- Ontology downloads
- Annotation downloads
- Database downloads
- Documentation
- GO FAQ
- GO on SourceForge
- Contact GO

News

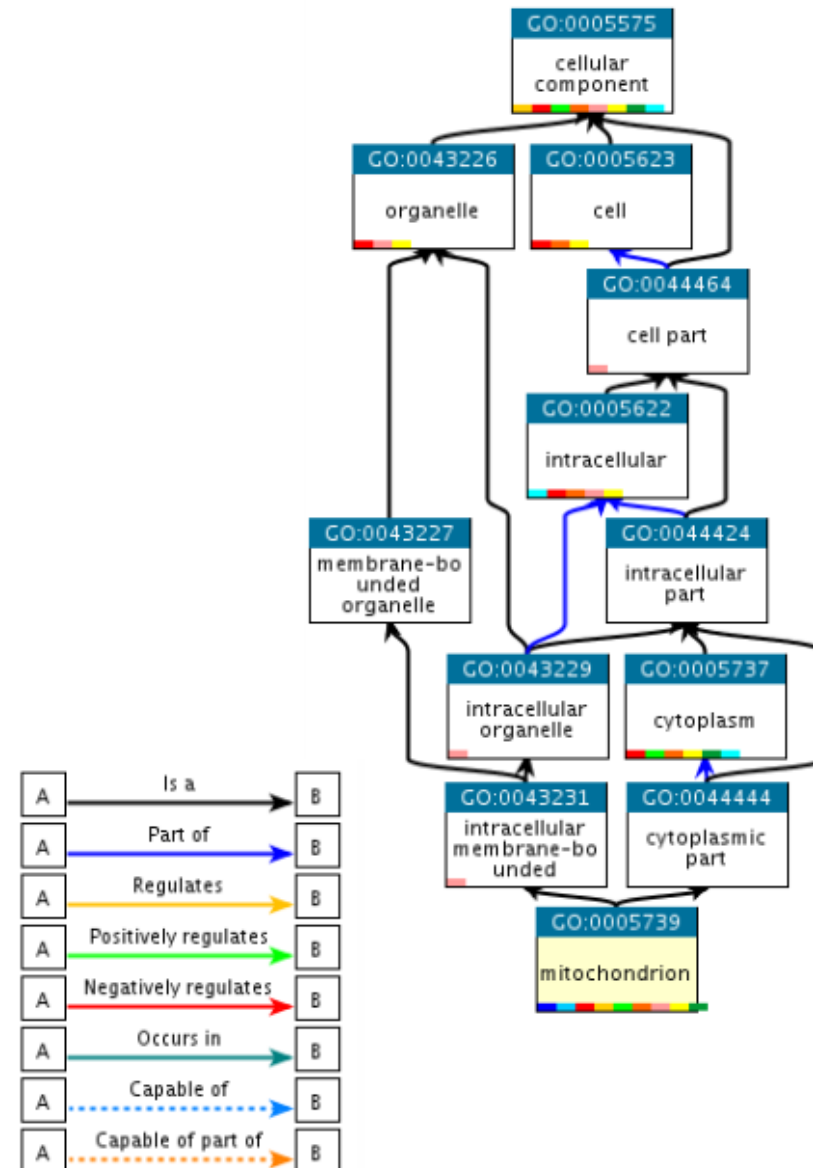
GO on Twitter

Aufspüren von Assoziation mit bestimmten biologischen Prozessen, Zell-Komponenten, und molekularen Funktionen

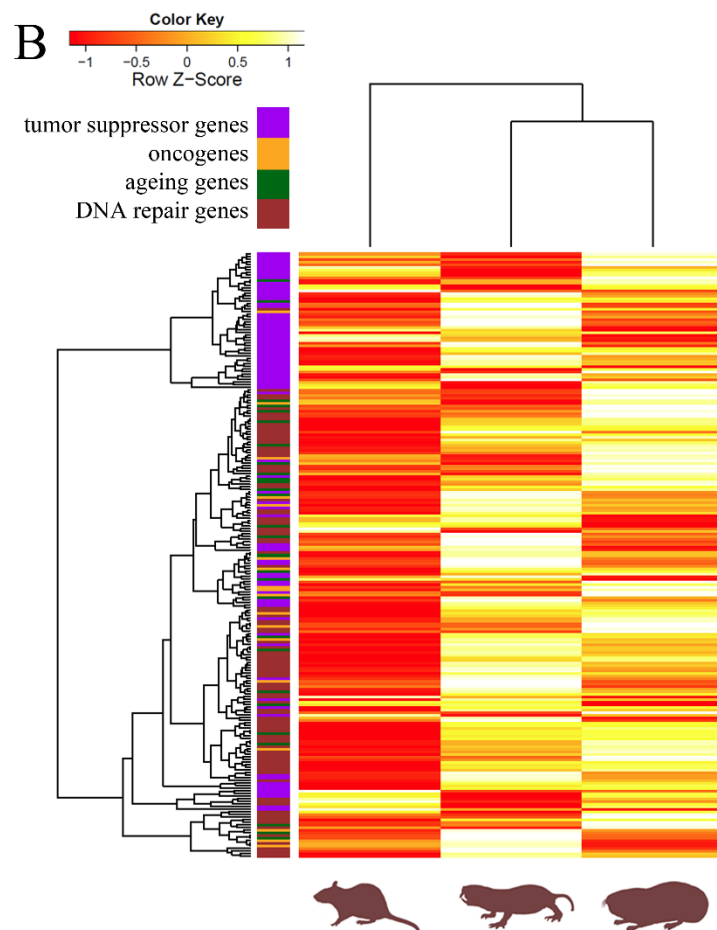
# Gene Ontology Annotation

- Jedes Gen wird in der Gene Ontology-Datenbank mit mehreren Schlagwörtern (=terms) versehen
  - Diese sind vernetzt und stehen in verschiedenen Beziehungen zueinander (z.B. „part of“, „is a“, „regulates“)
- Zusammenfassung und Vernetzung von Genen zu biologisch sinnvollen Gruppen (~25 000 Eigenschaften)

Ancestor chart for GO:0005739



# Enrichment von funktionell annotierten Genen in Datensätzen



Viele Tumorsuppressorgene des Datensatzes sind angereichert, aber handelt es dabei sich um eine signifikante Anreicherung?

→ Fisher's Exact test:

<https://www.youtube.com/watch?v=udyAvvaMjfM>

# Enrichment von funktionell annotierten Genen in Datensätzen

To determine whether any GO terms annotate a specified list of genes at a frequency greater than that would be expected by chance, GO::TermFinder calculates a  $P$ -value using the hypergeometric distribution:

## Hypergeometrische Verteilung

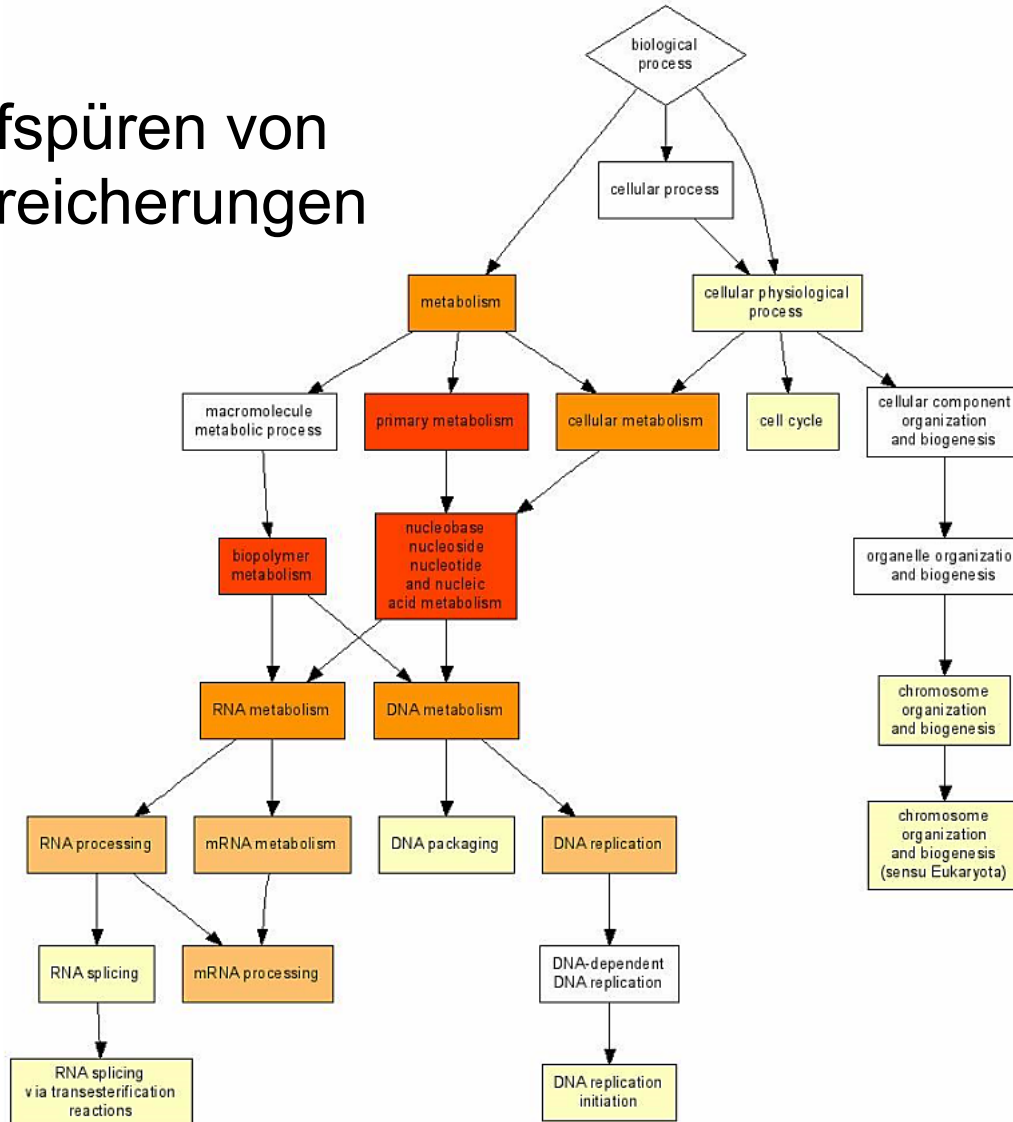
$$P = 1 - \sum_{i=0}^{k-1} \frac{\binom{M}{i} \binom{N-M}{n-i}}{\binom{N}{i}}.$$

In this equation,  $N$  is the total number of genes in the background distribution,  $M$  is the number of genes within that distribution that are annotated (either directly or indirectly) to the node of interest,  $n$  is the size of the list of genes of interest and  $k$  is the number of genes within that list which are annotated to the node. The background distribution by default is all the genes within a given annotation file, though the software also allows a user-defined background distribution, such that biases in the sampling population (e.g. the genes represented on a microarray) can be accounted for correctly. The hypergeometric distribution is sampling without replacement—for instance, consider a bag with 500 red and 500 green beads. If 20 beads were selected randomly, and beads were not replaced after each selection, and 17 were green, we would use the hypergeometric distribution to calculate the  $P$ -value as the probability of picking 17, or more, green beads from 20, given that there are 500 of each in the background distribution.

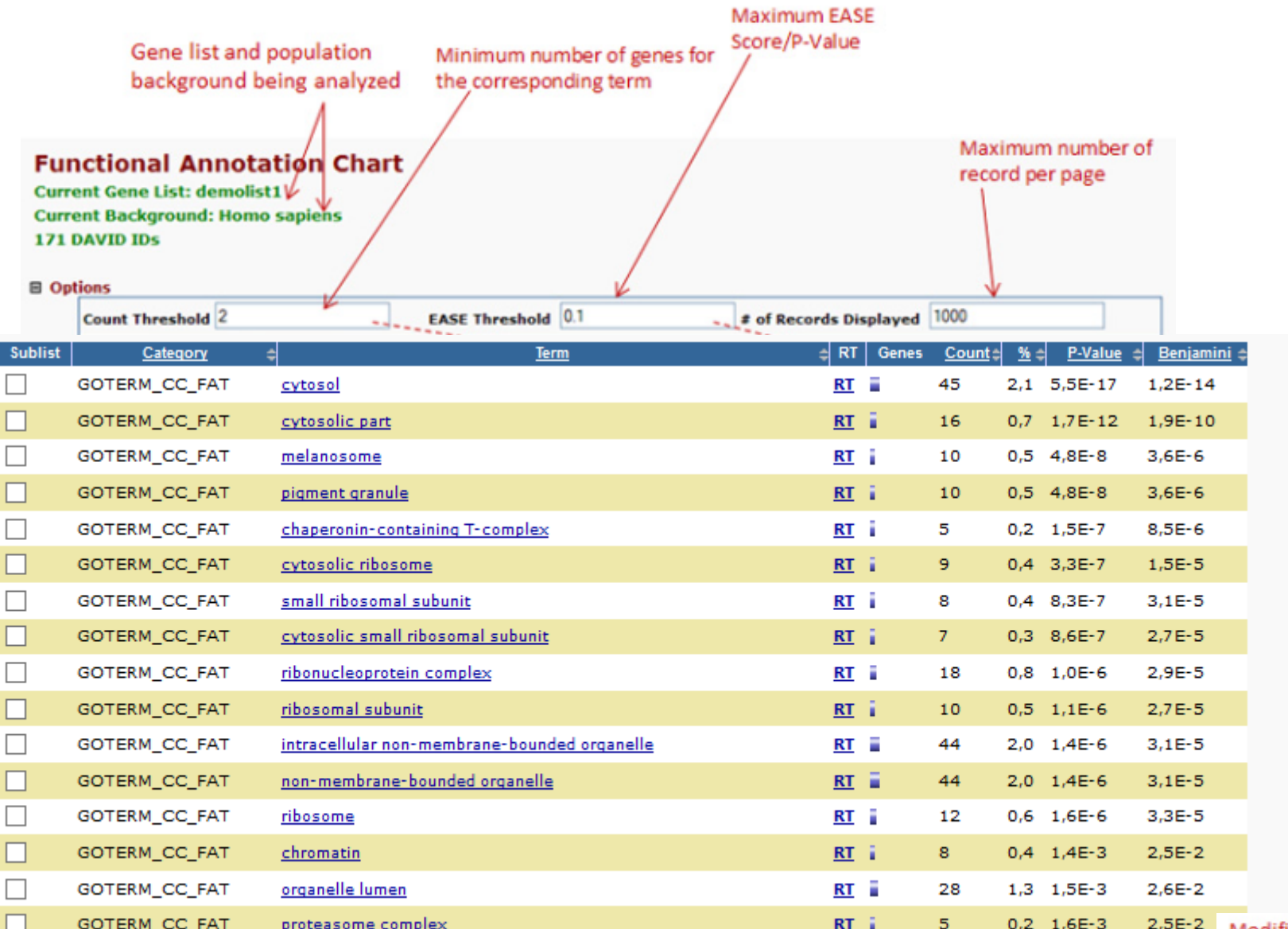
# Gene Ontology Analysen

Aufspüren von  
Anreicherungen

***GORILLA***



# Gene Ontology-Listen in DAVID



Modified Fisher Exact P-Value, EASE Score. The smaller, the more enriched.

RT = related term

Percentage, e.g. 14/171=8.2%  
(involved genes/total genes)

# Biologische Interpretation der differenziell regulierten Gene

- Gibt es eine gemeinsame Assoziation mit bestimmten Zellkomponenten?
- Gibt es eine gemeinsame Assoziation mit bestimmten Funktionen, z.B. Schutz vor Sauerstoffradikalen?
- Gibt es Pathways, in denen viele der Gene vorkommen?
- Gibt es gemeinsame Regulatoren der Gene, z.B. stressinduzierbare Transkriptionsfaktoren?

# Enrichment von Genen in Pathways



fatty acid metabolism predicted to be decreased (z-score -2,807). Overlap p-value 1,75E-04

22 of 38 genes have expression direction consistent with decreases in fatty acid metabolism.

**ADD TO MY PATHWAY** **ADD TO MY LIST** **CUSTOMIZE TABLE** **CREATE DATASET**

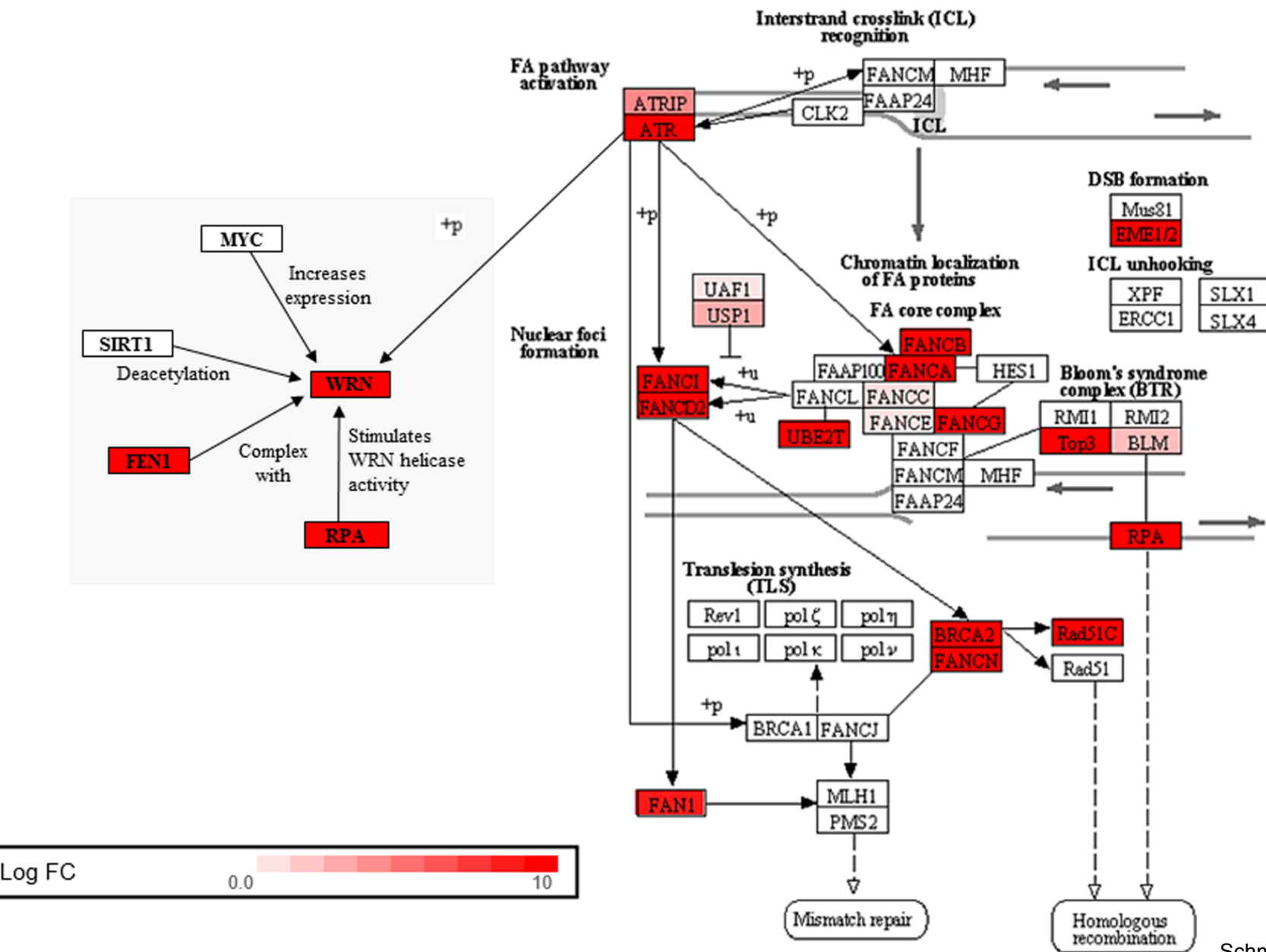
<input type="checkbox"/>	ID	Genes in dataset	Prediction (based on expression direction)	Fold Change	Findings
<input type="checkbox"/>	5130	PCYT1A	Decreased	+2,110	Increases (2)
<input type="checkbox"/>	3569	IL6	Decreased	+2,197	Increases (5)
<input type="checkbox"/>	301	ANXA1	Decreased	+1,019	Increases (1)
<input type="checkbox"/>	654	BMP6	Decreased	+1,493	Increases (2)
<input type="checkbox"/>	54677	CROT	Decreased	+1,323	Increases (5)
<input type="checkbox"/>	7357	UGCG	Decreased	+1,545	Increases (11)
<input type="checkbox"/>	3606	IL18 (includes EG:16173)	Decreased	+1,175	Increases (7)
<input type="checkbox"/>	355	FAS	Decreased	+1,085	Increases (11)
<input type="checkbox"/>	2172	FABP6	Decreased	+2,340	Increases (1)
<input type="checkbox"/>	2571	GAD1 (includes EG:100006588)	Decreased	+2,890	Increases (4)
<input type="checkbox"/>	7431	VIM	Decreased	+1,530	Decreases (1)
<input type="checkbox"/>	9235	IL32	Decreased	-4,784	Increases (1)
<input type="checkbox"/>	9415	FADS2	Decreased	+1,106	Increases (6)
<input type="checkbox"/>	857	CAV1	Decreased	+1,063	Increases (7)
<input type="checkbox"/>	7124	TNF	Decreased	+3,305	Increases (114)
<input type="checkbox"/>	6288	SAA1	Decreased	+2,312	Increases (2)
<input type="checkbox"/>	6505	SLC1A1	Decreased	+1,648	Increases (1)
<input type="checkbox"/>	177	AGER	Decreased	+2,848	Decreases (1)
<input type="checkbox"/>	7097	TLR2	Decreased	+1,540	Increases (4)
<input type="checkbox"/>	3675	ITGA3	Decreased	+1,075	Increases (1)
<input type="checkbox"/>	3992	FADS1	Decreased	+1,171	Increases (3)
<input type="checkbox"/>	627	BDNF	Decreased	+1,185	Increases (8)
<input type="checkbox"/>	4973	OLR1	Increased	+1,872	Decreases (1)
<input type="checkbox"/>	3603	IL16	Increased	+1,482	Increases (10)
<input type="checkbox"/>	2687	GGT5	Increased	+1,559	Decreases (2)
<input type="checkbox"/>	2919	CXCL1	Increased	+2,607	Decreases (2)
<input type="checkbox"/>	53947	A4GALT	Increased	+1,651	Decreases (1)

“Voraussagen” eines aktivierte Fettsäuremetabolismus Input Genliste mit fold changes

**Abgleich der  
“vorausgesagten Aktivität”  
von Genen eines aktivierte  
Fettsäure-Metabolismus (auf  
Literatur basierend) mit der  
eigenen Genliste und deren  
Regulationsrichtungen:**

Die Regulationsrichtung differenziell exprimierter Gene widerspricht meistens genau der Regulationsrichtung, die hier eine Verstärkung des Fettsäuremetabolismus anzeigen würde  
**→ Der Fettsäuremetabolismus ist signifikant herabreguliert!**

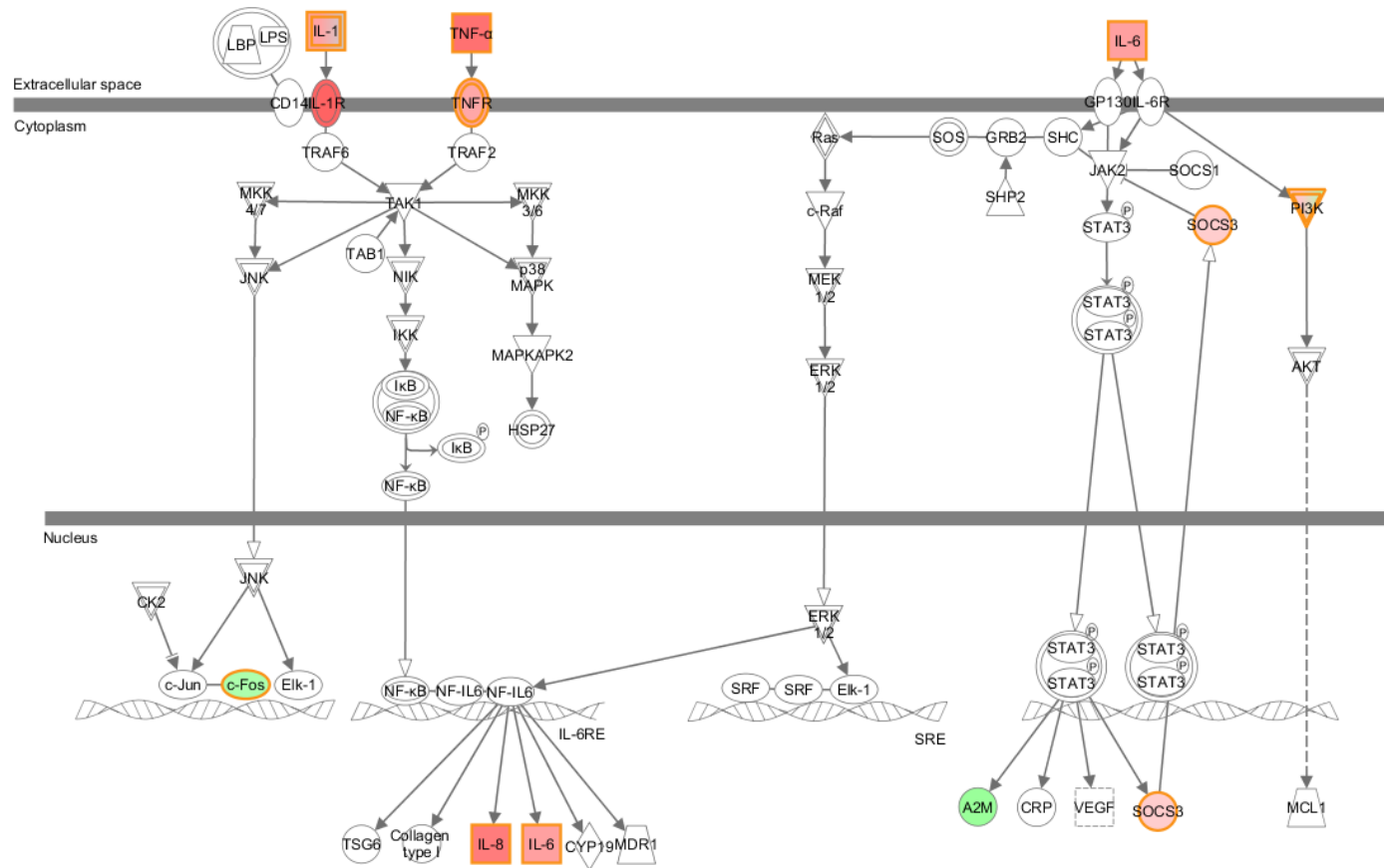
## FANCONI ANEMIA PATHWAY



# Enrichment von Genen in Pathways

Canonical pathway: IL6 signaling

INGENUITY®  
SYSTEMS



Grün: upregulated gene in MB-  
Rot: downregulated gene in MB-

# Detektion gemeinsamer Upstream regulators

INGENUITY®  
SYSTEMS

Upstream Regulator	Fold Change	Predicted Activation	Bias-corrected z-score	p-value of overlap	Target molecules in dataset
TP53 (includes EG:22059)		Inhibited	-2,456	1,07E-04	↑ALDH4A1, ↓ANXA1, ↓BIRC3, ↓BMP1, ↓CAV1, ↑CLU, ↑COL3A1, ↓COL4A1, ↓CRIP2, ↑CRYAB, ↓BIRC3, ↓CAV1, ↓CCL2, ↓CXCL1, ↓F3, ↓FABP6, ↓FAS, ↑FOS, ↓ICAM1, ↓IL32, ↓CCL2, ↑CLU, ↓F3, ↑FAS, ↓FLT1, ↓FOSL1, ↓GAD1 (includes EG:100006588), ↓GADD45A, ↑ICAM1, ↓IL8, ↓FAS, ↓GADD45A, ↓SERPINE2, ↓TNF, ↓TNFAIP2, ↓DAPK1, ↓FLT1, ↓IL6, ↓MMP2, ↓SERPINE1, ↓THBS1, ↓TPM1 (includes EG:22003)△, ↑C1orf15, ↓CCL2, ↓ENO2, ↓FSCN1, ↓GBE1, ↓IL6, ↓JAG2, ↓PYGL, ↓SCG5, ↓SERPINB5, ↓CCL2, ↑CXCL1, ↑ICAM1, ↓IL6, ↓IL8, ↓SAA1△, ↓TNF, ↑BCL11A, ↓CAV1, ↓CCL2, ↓ETS1, ↓FLT1, ↓ICAM1, ↓MMP2, ↓MMP7, ↑PEG10, ↓RHOBTB3, ↑ACP5, ↑BCL6, ↓CST7, ↓GNA15, ↓IL4R, ↓IL6, ↓MMP2, ↑MYB, ↓NEDD9, ↓PDGFA, ↑CXCL1, ↓ELOVL6, ↓ICAM1, ↓IL6, ↓IL7R, ↓IL8, ↓MMP2, ↑DNM1, ↑F2R, ↓F3, ↓FLT1, ↑FOS, ↓FOSL1, ↓ITGA2, ↓LAMA1, ↓MMP2, ↓PCYT1A, ↑ACP5, ↓AKR1C3, ↓BDNF, ↑CASZ1, ↓CCL2, ↑CLU, ↓COL16A1, ↑CYCSΔ, ↑EEA1, ↓ELOVL6, ↓ANKRD1, ↓BIRC3, ↓ENO2, ↓FLT1, ↑FOS, ↓FOSL1, ↑ICAM1, ↓ID1, ↓IGFBP2, ↓IL6, ↓BIN1, ↓CCL2, ↓CD74, ↓FADS3, ↑FOS, ↓GADD45A, ↓HKDC1, ↑IGFBP5, ↓IL6, ↓ITGA3, ↓AXL, ↓CCL2, ↓FAS, ↑FOS, ↓ICAM1, ↓IL6, ↓IL8, ↓PDGFA, ↓SAMHD1, ↓SOCS3, ↓IL6, ↓IL8, ↑MYB, ↓PRDM1, ↓REL, ↓TNF, ↓GADD45A, ↓IL6, ↓IL8, ↓SERPINE5, ↓TGFB2, ↓TNF, ↓ALDH1A1, ↓ANXA1, ↓BMP1, ↓CD34, ↑CLU, ↓COL4A1, ↓COL4A2, ↓CYP4F12, ↓DKK1, ↓ECM1 (includes EG:100332249), ↓BIRC3, ↓ENO2, ↓FLT1, ↑FOS, ↓GBE1, ↑IGFBP5, ↓IL6, ↓LOX, ↓NRN1, ↑SERPINE1, ↓CIP2, ↓DKK1, ↓LAMB3, ↓LOXL1, ↓F3, ↑FOS, ↓ICAM1, ↓IL18 (includes EG:16173), ↓IL6, ↓IL8, ↓REL, ↓TNF, ↓TNFAIP3, ↑VIM, ↓FAS, ↑IL16, ↓IL7R, ↓ROBO4, ↓TNC, ↓UTRN, ↑AKR1B1, ↓ANXA1, ↓BIN1, ↑CYCSΔ, ↓FLT1, ↑FOS, ↓GADD45A, ↓ICAM1, ↓ID1, ↓IL6, ↓F3, ↓FAS, ↓FOSL1, ↓IL8, ↓MMP2, ↓REL, ↓TIMP1, ↓ALDH1A1, ↓COL15A1, ↑COL3A1, ↓DKK1, ↓FLT1, ↓GAS6, ↓ID1, ↓ALDH1A1, ↓ARL6, ↓BDNF, ↓CCL2, ↓DAPK1, ↓FAS, ↑FOS, ↓GAS6, ↓ANXA1, ↓FAS, ↑FOS, ↓GAS6, ↓PLAT, ↓SERPINE1, ↓TAGLN, ↓TGFB2, ↓TNF, ↓ACP5, ↓FAS, ↓PLD1, ↑RGS2 (includes EG:19735), ↓S100A3, ↓TNF, ↓ABCC4 (includes EG:10257), ↓CAV1, ↓CLDN11, ↑COL3A1, ↓ENO2, ↑IGFBP5, ↓IL6, ↓INPP4B, ↓ITGA2, ↓MAOA, ↓BIRC3, ↓C4BPB, ↓CDK6, ↓CXCL1, ↓DENND2A, ↓DKK1, ↓ICAM1, ↓IL6, ↓IL8, ↓MMP7, ↑AGER, ↓AKR1B1, ↓AOX1, ↓CALB2, ↓COL12A1, ↓GALNT4, ↓ICAM1, ↓LAMB3, ↓LCP1, ↑MDM4, ↑BACE1, ↓ENO2, ↓ETS1, ↓FLT1, ↑FOS, ↓GBE1, ↓IGFBP2, ↑IGFBP5, ↓IL6, ↓IL8, ↓CAV1, ↓CCL2, ↓IL8, ↓ITGA2, ↓MMP2, ↓NEDD9, ↓PDZK1, ↓SOCS3, ↓TGM2, ↑AGER, ↑BACE1, ↓BDNF, ↓CCL2, ↑CDK6, ↑CRYAB, ↑DNM1, ↑F2R, ↓F3, ↑C1orf15, ↓DAPK1, ↑FOS, ↓GADD45A, ↓ICAM1, ↓ID1, ↓JAG1, ↓JAG2, ↓SERPINE1, ↓TGFB2, ↓ADCYAP1 (includes EG:11516), ↑FOS, ↓IL6, ↓KRT14, ↑RGS2 (includes EG:19735), ↑RHOA, ↓SOCS3, ↑SREBF1, ↓TAGLN, ↓TLR2, ↑FOS, ↓ICAM1, ↓MYLK, ↓TAGLN, ↓TNC, ↑AGER, ↓CCL2, ↓ICAM1, ↓IL6, ↓IL8, ↑MOK, ↓REL, ↓TLR2, ↓TNF, ↓CD34, ↓FLT1, ↑FOS, ↓ICAM1, ↓PCSK6, ↓TNF
RELA		Inhibited	-2,380	1,94E-07	
EGR1			-1,957	1,00E-05	
BRCA1			-1,756	4,79E-01	
SMAD2			-1,701	9,48E-03	
STAT4			-1,610	1,21E-02	
NFKBIB			-1,502	1,36E-03	
ETS1	↓-1,415		-1,490	7,10E-03	
STAT6			-1,426	2,31E-03	
ID3			-1,418	3,72E-04	
SP3			-1,395	8,05E-06	
FOS	↑1,121		-1,302	3,01E-07	
NOTCH1			-1,299	1,80E-08	
SMARCA4			-1,259	1,11E-05	
STAT1			-1,229	4,08E-02	
RELB	↓-1,049		-1,182	4,86E-03	
ATF2			-1,162	2,63E-02	
CTNNB1			-1,158	2,64E-10	
EPAS1			-1,077	1,62E-02	
MLL2			-1,059	6,43E-03	
REL			-1,052	2,41E-03	
GABPA			-1,037	5,59E-04	
CEBPA			-0,997	3,35E-04	
FOSL2			-0,972	8,98E-05	
HOXA10			-0,972	1,36E-03	
CEBPB (includes EG:1051)			-0,904	1,49E-04	
MTPN			-0,899	1,32E-03	
NFATC2			-0,870	1,91E-02	
AR			-0,622	3,75E-07	
EZH2			-0,600	1,04E-03	
ARNT2			-0,532	2,73E-03	
HIF1A			-0,520	2,45E-03	
ESR2			-0,485	5,82E-05	
SP1			-0,478	1,03E-02	

Die mRNA des Transkriptionsfaktors selber muss nicht notwendigerweise hochreguliert sein, auch das Zusammenspiel mit interagierenden Kinasen etc. kann zu deren Aktivität beitragen.

Regulationsrichtung der Zielgene des Transkriptionsfaktors

# **RNA-Seq Praxisteil**

**Screenshots und  
Einstellungen**

# Anwendungsbeispiel: RNA Seq

Genom  
& Variom



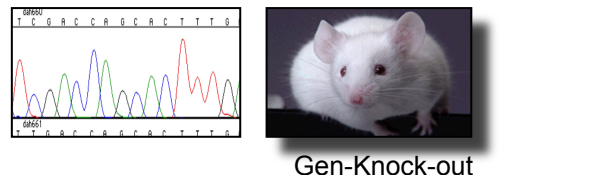
Transkriptom



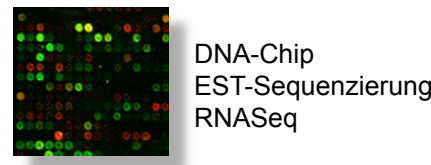
Proteom



Interaktom



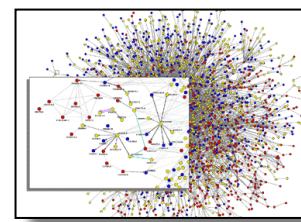
Gene identifizieren,  
Funktion bestimmen!



Wann und wie stark  
sind Gene aktiv?



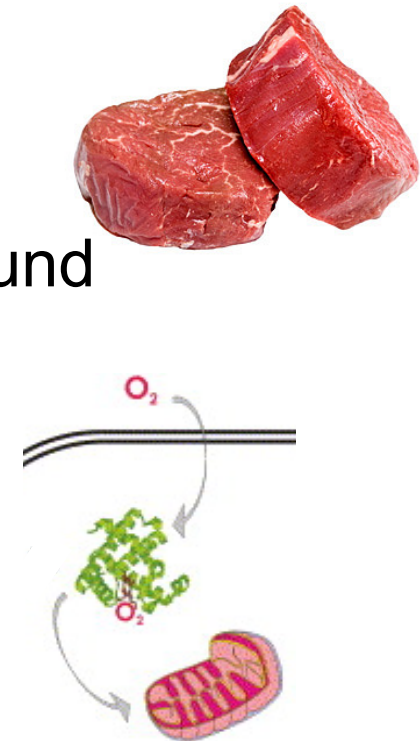
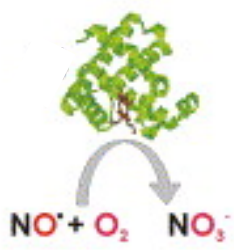
25 000 Gene, aber  
> 500 000 Proteine?



Wie arbeiten die  
Proteine zusammen?

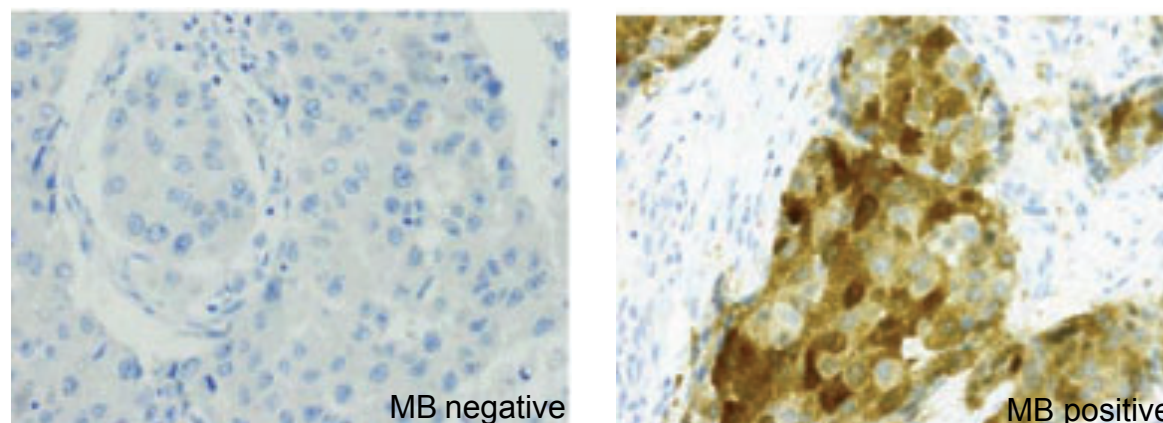
# Myoglobin in seiner klassischen Rolle

- Exprimiert im Zytoplasma von Herzmuskeln und quergestreiften Muskeln
  - Zuständig für den O<sub>2</sub> Transport
  - Dient als Kurzzeit O<sub>2</sub> Speicher
  - Detoxifiziert als Dioxygenase ROS und RNS
  - Kann unter hypoxischen Bedingungen NO produzieren



# Myoglobin in Brustkrebs

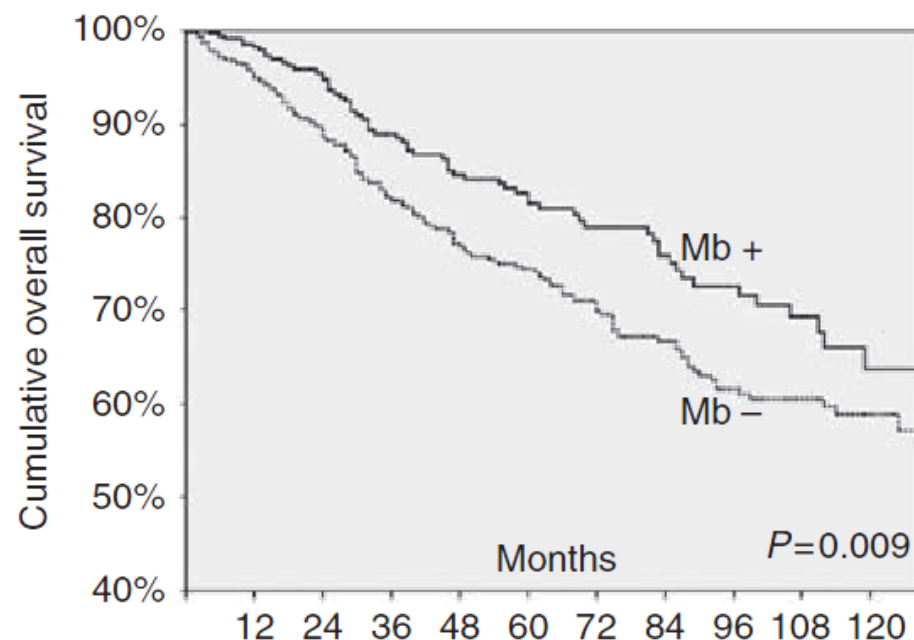
MB immunostaining on breast tumors



- ~ 40% invasiver luminaler Brustkrebs-Tumore exprimieren MB endogen
- ~ 350 mal mehr MB in Brustkrebs-Tumoren als in gesundem Brustepithel

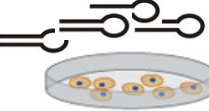
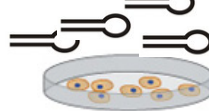
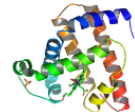
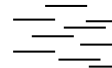
# MB in Brustkrebs und die Folgen

- Kaplan Meier Analyse:  
Survival Function von 917 primären Brustkrebs-Erkrankungen

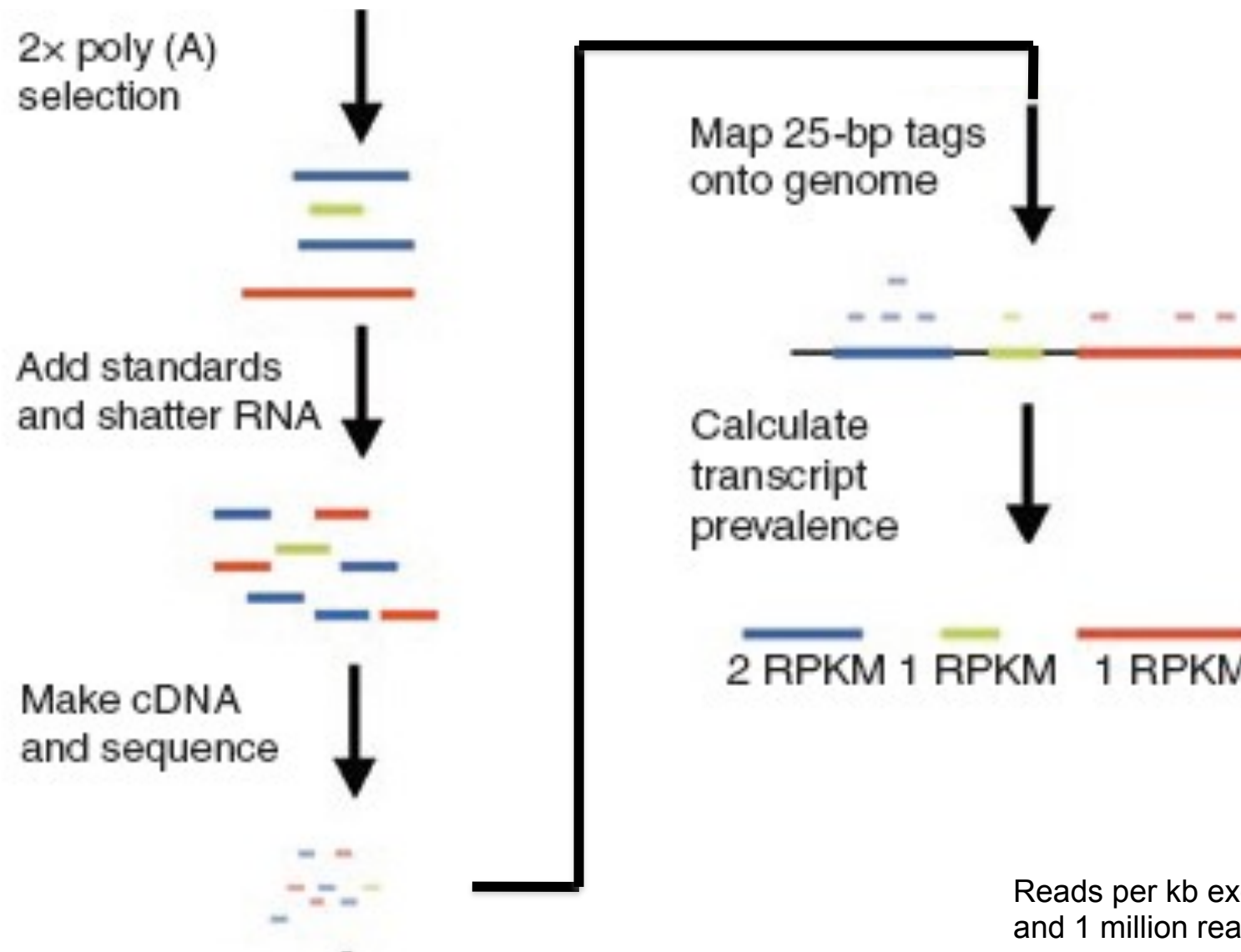


→ MB-Expression korreliert mit einer milderen Prognose für betroffene Patienten

# Analyse von Brustkrebs-transkriptomen mit und ohne MB

Mb Knockdown	Kontrollzellen
<ul style="list-style-type: none"><li>Transfection von MDA-MB468 Zellen mit <b>siRNA gegen MB</b></li></ul> 	<ul style="list-style-type: none"><li>Transfection von MDA-MB468 Zellen mit <b>Kontroll-siRNA</b></li></ul> 
<ul style="list-style-type: none"><li>Wachstum; <b>Herabregulation der MB-mRNAs</b></li></ul> 	<ul style="list-style-type: none"><li>Wachstum; <b>MB-Expression</b></li></ul> 
<ul style="list-style-type: none"><li>RNA-Isolation</li><li>Preparation von Sequenzier-Libraries</li><li>Illumina-Sequenzierung beider Transkriptome</li></ul>	
→ 34 Mio. Sequenz-Reads 	→ 29 Mio. Sequenz-Reads 

# Zur Erinnerung: RNA-Seq Überblick



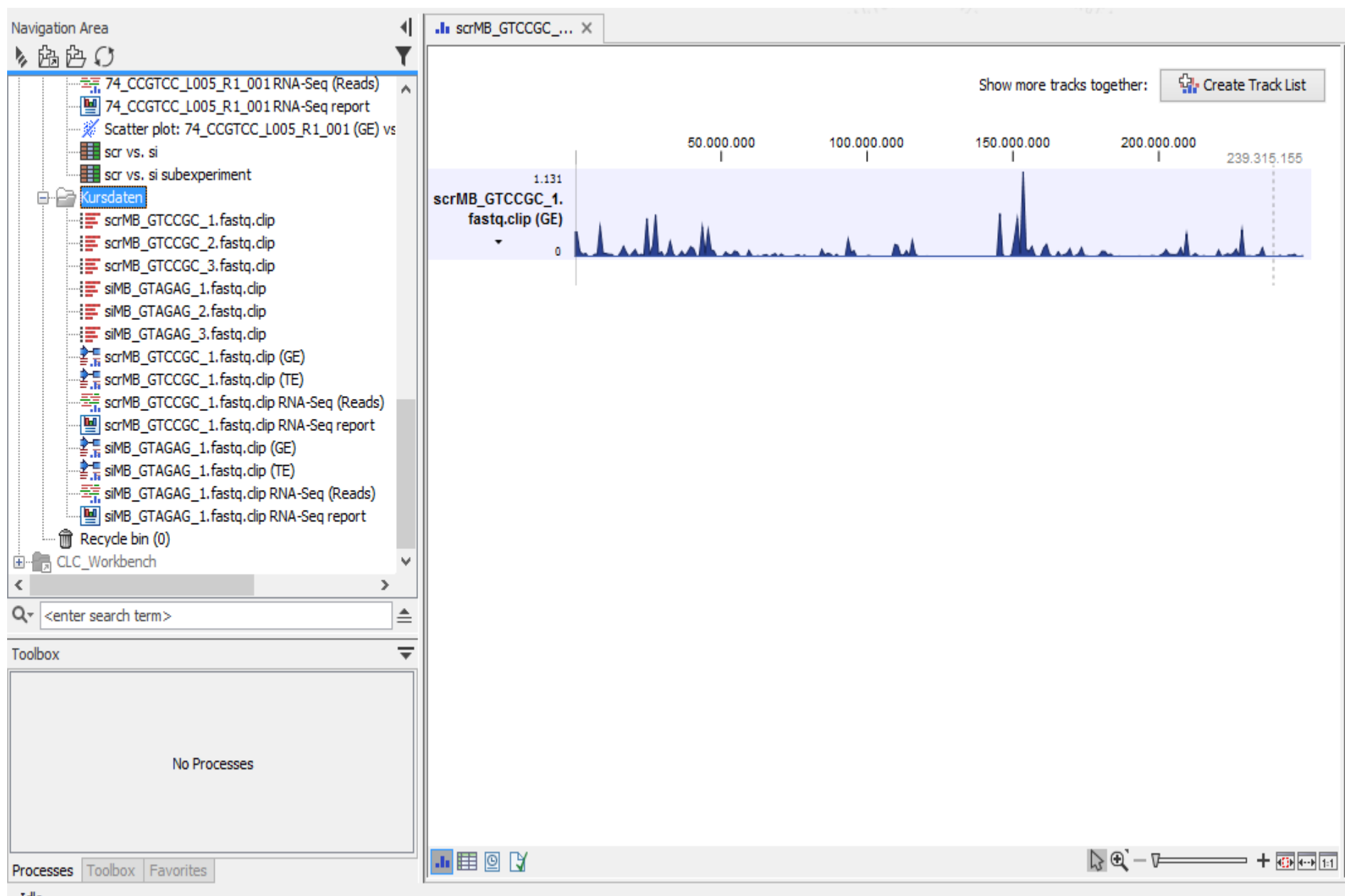
Reads per kb exon model  
and 1 million reads

# Kurs RNA-Seq

## **Der Einfluss der Myoglobinexpression auf Krebszellen:**

- Qualitätsbewertung und Nachbearbeitung von Illumina-Rohdaten
- Erstellung von Qualitätsstatistiken
- Importieren der Transkriptom-Datensätzen in die CLC-Workbench
- Importieren eines annotierten Hsa-Referenzgenoms
- Mapping der Transkriptomreads an das annotierte Hsa-Genom
- Statistische Analyse, Identifizierung differenziell exprimierter Gene
- Biologische Interpretation der RNA-Seq Analyse

# Ansicht unseres Mappings



Gx

### Create Track List

Select tracks from same genome

Navigation Area

1. Select tracks from same genome

Selected elements (3)

- scrMB\_GTCCGC\_1.fastq.clip RNA-seq
- Homo sapiens (hg19) sequence
- Homo sapiens (hg19)\_Gene

CLC\_Data

- Reference
  - Homo sapiens (hg19) sequence
  - Homo sapiens (hg19) ideograms
  - Homo sapiens (hg19)\_Transcript
  - Homo sapiens (hg19)\_Utr
  - Homo sapiens (hg19)\_CDS
  - Homo sapiens (hg19)\_Exon
  - Homo sapiens (hg19)\_Gene
  - Homo sapiens (hg19)\_Selenocysteine
  - Homo sapiens (hg19)\_mRNA
  - Homo sapiens (hg19) clinical variants in db
  - Homo sapiens (hg19) dbsnp (common) variants
  - Homo sapiens (hg19) dbsnp variants
- Data
  - Homo sapiens (hg19)\_CDS (Amino Acids)
  - SRR1272259\_1 (paired) mapping (Variants)
  - Homo sapiens (hg19)\_CDS (Amino Acids)-
  - SRR1272260\_1 (paired) mapping (Variants)
  - Homo sapiens (hg19)\_CDS (Amino Acids)-
  - SRR1272261\_1 (paired) mapping (Variants)
  - Homo sapiens (hg19)\_CDS (Amino Acids)-
  - SRR1272262 mapping (Variants, OA, AAC)
- Myoglobin test
  - 73\_ATGTCA\_L005\_R1\_001 (GE)
  - 73\_ATGTCA\_L005\_R1\_001 (TF)

<enter search term>

?

↶

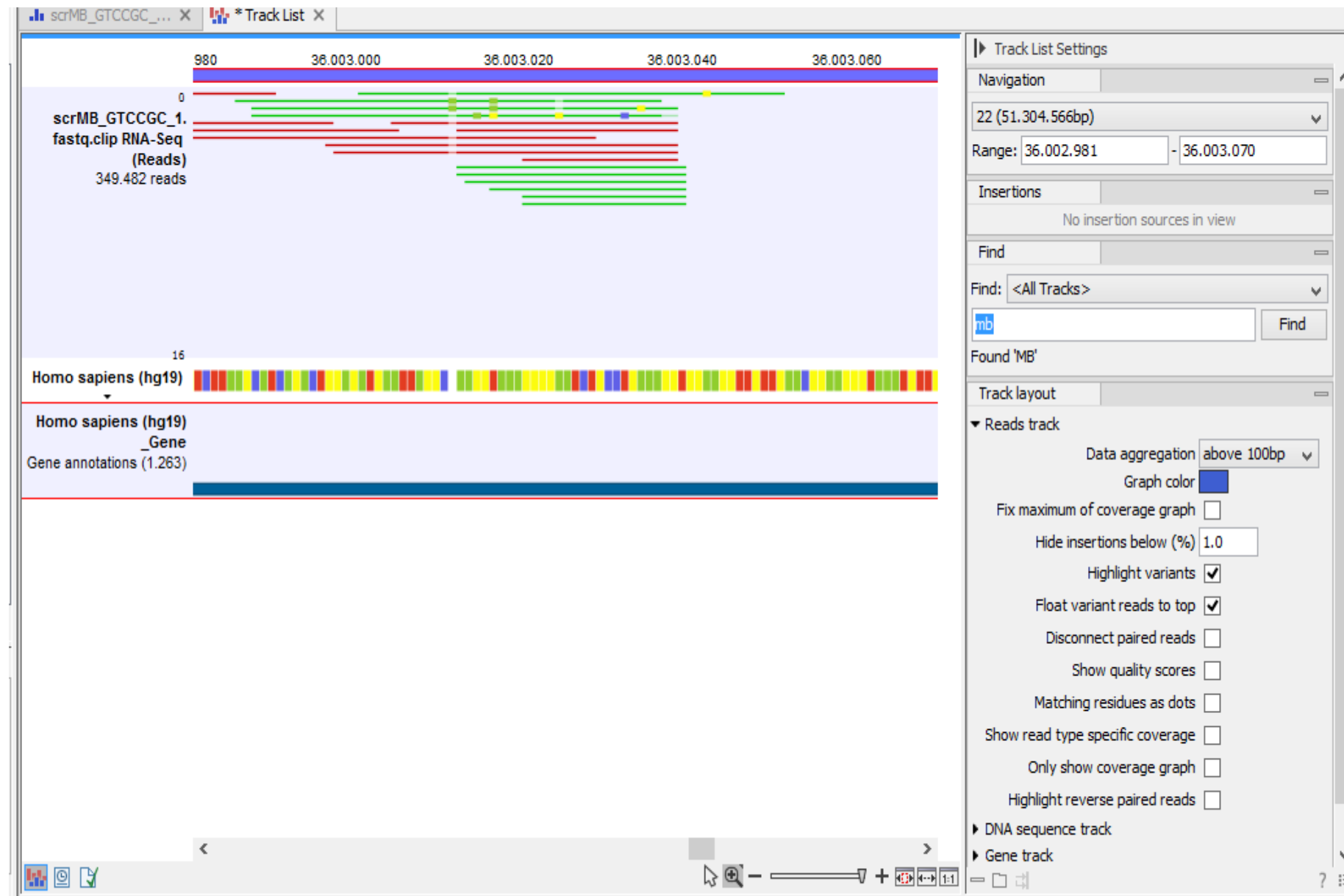
← Previous

→ Next

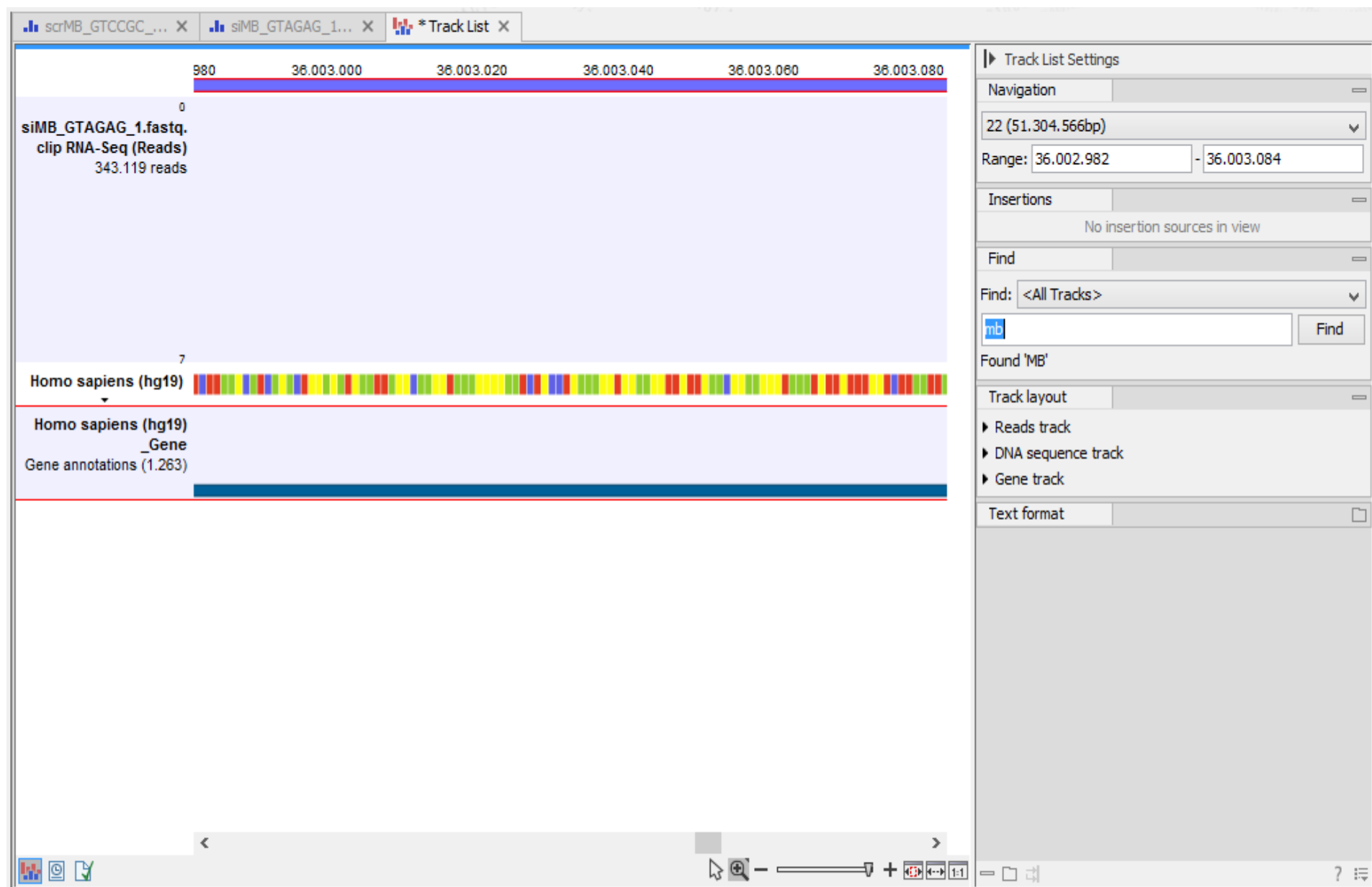
✓ Finish

✗ Cancel

# Scr-Myoglobinausschnitt von Mapping, Referenzgenom und Genannotationen



# siMB- Myoglobinauschnitt von Mapping, Referenzgenom und Genannotationen



\* RNA-Seq Analy... \* RNA-Seq Analy... \* scr vs. si X

Rows: 1 / 57.773

Feature ID mb Filter

Match any Match all

Feature ID	Experiment							
	Range (original values)	IQR (original values)	Difference (...)	Fold Change...	Expression values	Transcripts a...	Detected tra...	Exon leng...
MB	2,51	2,51	-2,51	-6,94	2,94	11	1	3

Fold change von Myoglobin zwischen siMB und scr

Experiment Table Settings

Column width Manual

Experiment level

Analysis level

Annotation level

Group level

scr

si

Group columns

Means

Select All

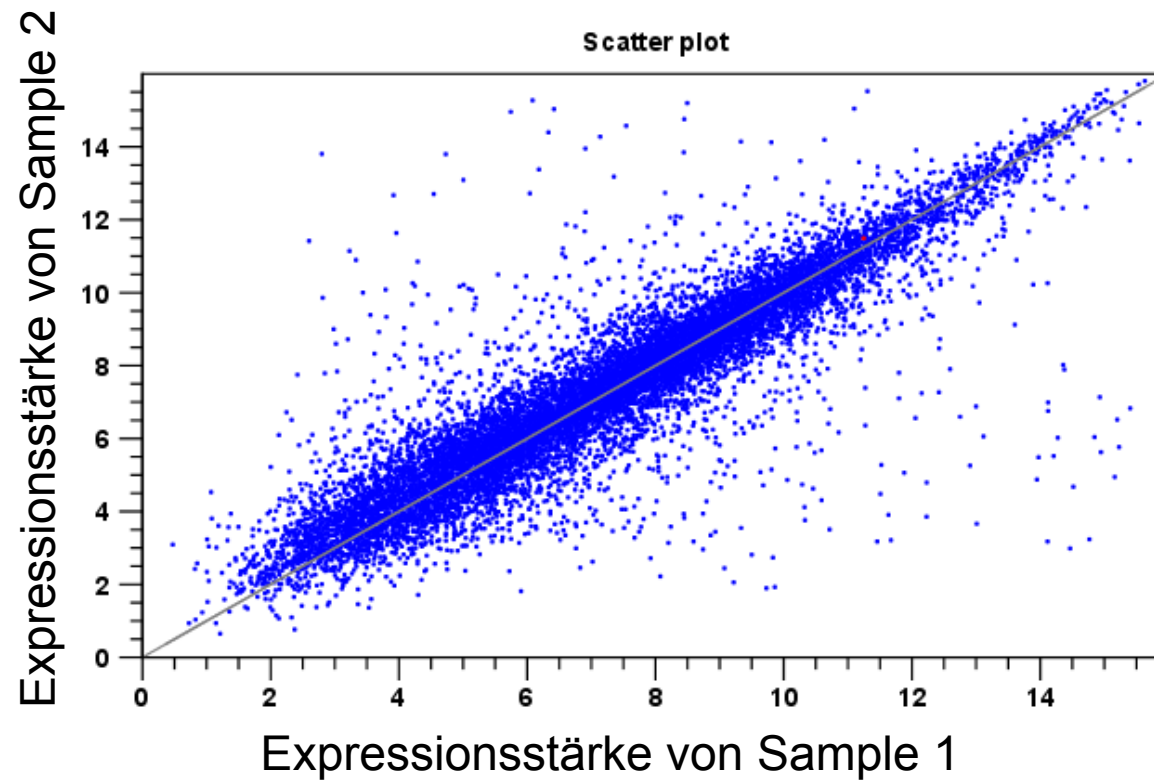
Deselect All

Sample level

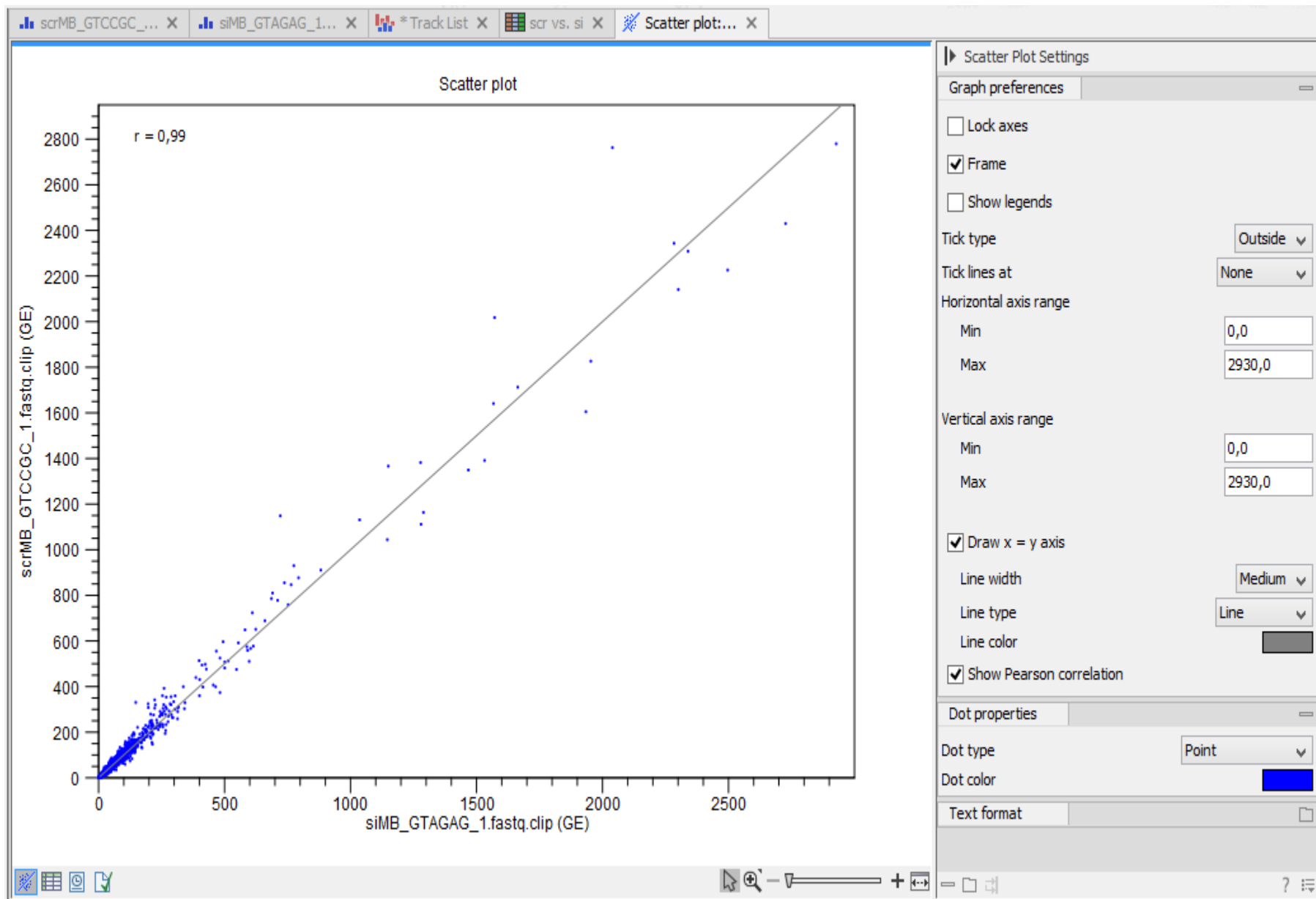
Add Annotations Create Experiment from Selection Download Sequence

Help

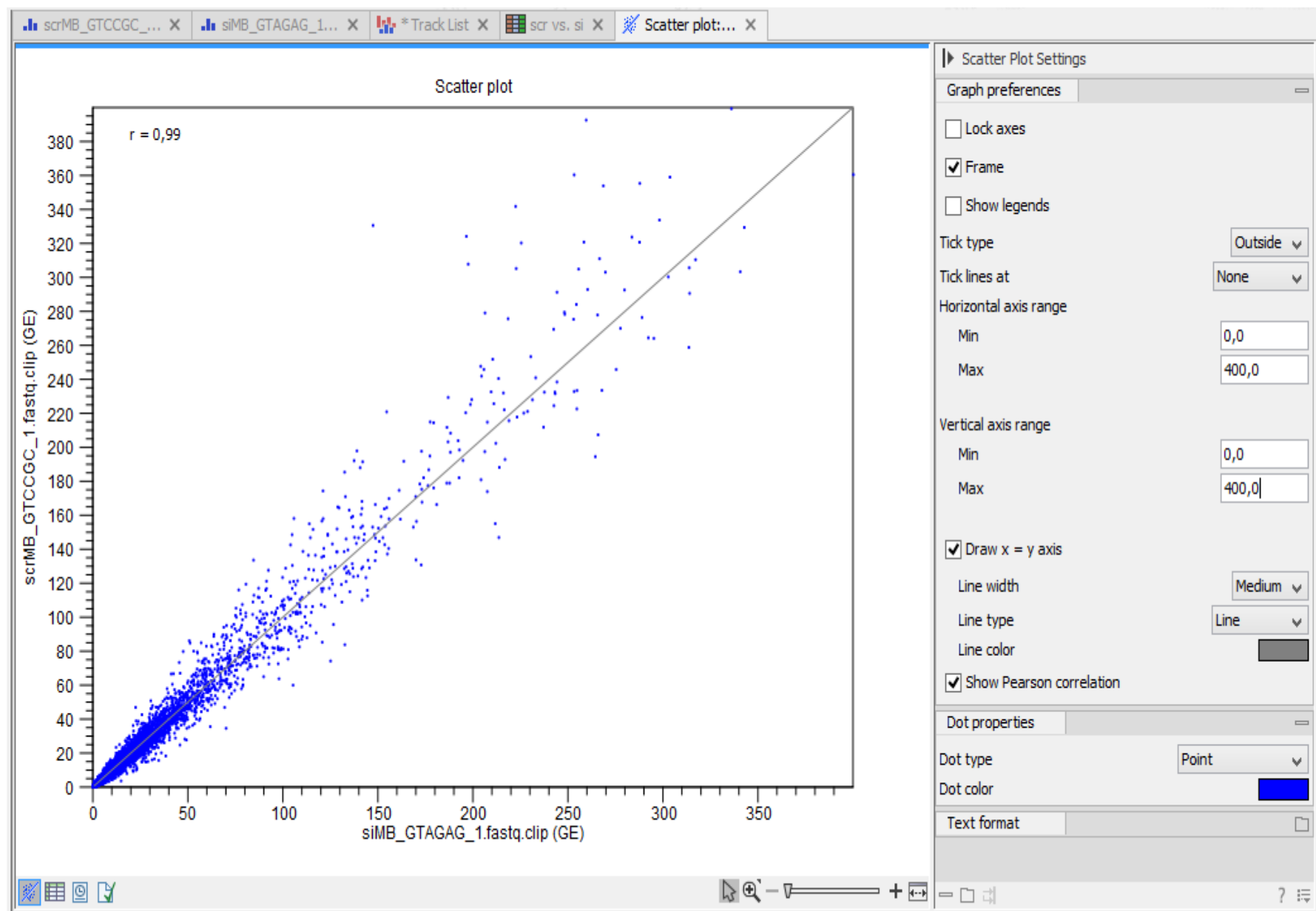
# Statistische Auswertung: Scatter Plot



# Unser Scatter Plot



# Unser Scatter Plot



# Statistik zur Expressionsstärke: Z-Test

**Kal et al.'s test (Z-test): Vergleich einzelner Proben gegeneinander ( $n=1$ )**

- **Basierend auf der** “Approximation of the binomial distribution by the normal distribution” [[Kal et al., 1999](#)]
- Proportions-basiert statt “raw count”-basiert, darum auch geeignet, wenn ein Sample insgesamt viel höhere “Sum-of-counts” hat
- 'Proportions difference' für ganze Gruppen berechnet
- Zweiseitiger 'P-value', optional mit FDR und Bonferroni-Correction

# „Korrektur“ der Irrtumswahrscheinlichkeiten

## Bonferroni corrected:

The Bonferroni corrected p-values handle the multiple testing problem by controlling the 'family-wise error rate': the probability of making at least one false positive call. They are calculated by multiplying the original p-values by the number of tests performed. The probability of having at least one false positive among the set of features with Bonferroni corrected p-values below 0.05, is less than 5%. The Bonferroni correction is conservative: there may be many genes that are differentially expressed among the genes with Bonferroni corrected p-values above 0.05, that will be missed if this correction is applied.

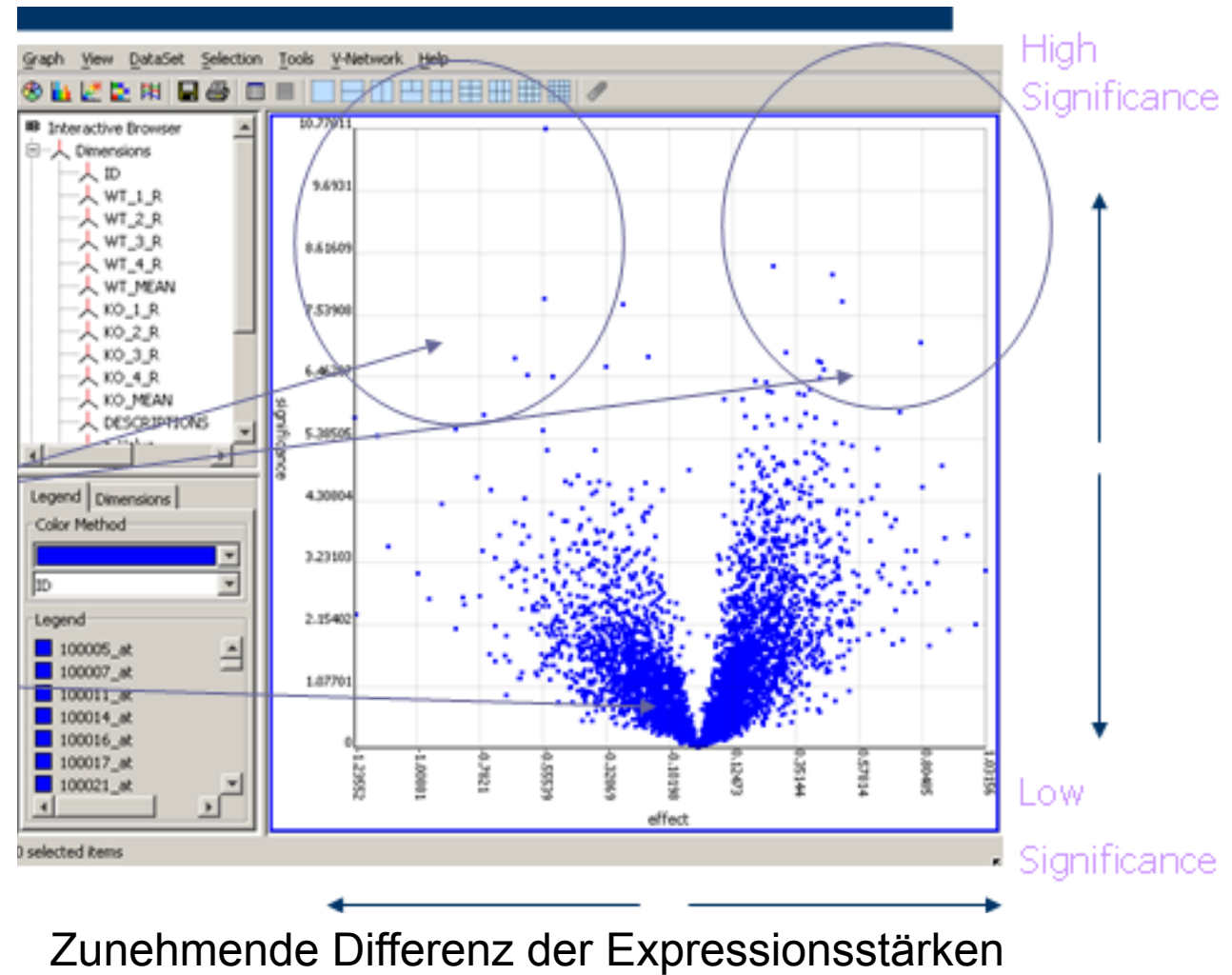
## FDR (False discovery rate) corrected:

Instead of controlling the family-wise error rate we can control the false discovery rate: FDR. The false discovery rate is the proportion of false positives among all those declared positive. We expect 5 % of the features with FDR corrected p-values below 0.05 to be false positive [[Benjamini and Hochberg, 1995](#)].

# Statistische Auswertung: Vulcano Plot

Hohe Differenz der Expressionsstärken  
+ hohe Signifikanz

Ähnlich stark exprimierte Gene/  
Transkripte  
+ niedrige Signifikanz



# Unser Vulcano Plot

